

INTEGRAIS DE SUPERFÍCIE; FLUXO

Massa de uma superfície

- Considere-se uma distribuição de matéria sobre uma superfície S (*superfície material*). Se o campo escalar que exprime a densidade do material (massa por unidade de área) for constante, λ , então a massa da *superfície material* é dada pelo produto da densidade pela área da superfície, $A(S)$.

Assim, se S é uma superfície *simples e regular*, parametrizada através de uma função vectorial diferenciável

$$\vec{r}(u,v) = x(u,v)\vec{i} + y(u,v)\vec{j} + z(u,v)\vec{k}, \quad (u,v) \in \Omega$$

então a massa de S , $M(S)$, é dada por

$$M(S) = \lambda A(S) = \lambda \iint_{\Omega} \|\vec{N}(u,v)\| du dv \quad (1)$$

onde $\vec{N}(u,v)$ é o *produto vectorial fundamental* de S .

No entanto, se a densidade variar de ponto para ponto, $\lambda(x,y,z)$, então a massa só poderá ser obtida recorrendo a um processo de integração.

Com efeito, é possível provar que:

$$\begin{aligned} M(S) &= \iint_S \lambda(x,y,z) dS = \iint_{\Omega} \lambda[\vec{r}(u,v)] \|\vec{N}(u,v)\| du dv = \\ &= \iint_{\Omega} \lambda[x(u,v), y(u,v), z(u,v)] \|\vec{N}(u,v)\| du dv \end{aligned} \quad (2)$$

Integral de superfície

- O integral duplo apresentado em (2) pode ser generalizado para um qualquer campo escalar, $h(x, y, z)$, que seja contínuo na superfície S . Este integral é, genericamente, designado por *integral de superfície de $h(x, y, z)$ sobre S* e escreve-se:

$$\iint_S h(x, y, z) \, dS = \iint_{\Omega} h[x(u, v), y(u, v), z(u, v)] \, \|\vec{N}(u, v)\| \, du \, dv$$

Se $h(x, y, z) = 1$, então:

$$A(S) = \iint_S dS = \iint_{\Omega} \|\vec{N}(u, v)\| \, du \, dv$$

Exemplo 1: Determine o integral de superfície do campo escalar $h(x, y, z) = yz$ sobre a superfície, S , parametrizada através de

$$\vec{r}(u, v) = u\vec{a} + v\vec{b}, \quad (u, v) \in \Omega$$

com $\vec{a} = \vec{i} - \vec{j} + \vec{k}$, $\vec{b} = 2\vec{j} - \vec{k}$ e $\Omega = \{(u, v) : 0 \leq u \leq 1, 0 \leq v \leq 1\}$.

Solução:

Notando que

$$\vec{N}(u, v) = \frac{\partial \vec{r}}{\partial u} \times \frac{\partial \vec{r}}{\partial v} = \vec{a} \times \vec{b} = \begin{vmatrix} \vec{i} & \vec{j} & \vec{k} \\ 1 & -1 & 1 \\ 0 & 2 & -1 \end{vmatrix} = -\vec{i} + \vec{j} + 2\vec{k} \Rightarrow \|\vec{N}(u, v)\| = \sqrt{6}$$

$$\vec{r}(u, v) = u\vec{i} + (-u + 2v)\vec{j} + (u - v)\vec{k}$$

$$h[\vec{r}(u, v)] = y(u, v)z(u, v) = (-u + 2v)(u - v) = -u^2 - 2v^2 + 3uv$$

obtem-se para o integral de superfície:

$$\begin{aligned}\iint_S (yz) dS &= \sqrt{6} \int_0^1 \int_0^1 (-u^2 - 2v^2 + 3uv) du dv = \\ &= \frac{\sqrt{6}}{6} \int_0^1 \left[-2u^3 - 12uv^2 + 9u^2v \right]_0^1 dv = \frac{\sqrt{6}}{6} \int_0^1 (-2 - 12v^2 + 9v) dv = \\ &= \frac{\sqrt{6}}{12} \left[-4v - 8v^3 + 9v^2 \right]_0^1 = -\frac{\sqrt{6}}{4}\end{aligned}$$

Exemplo 2: Calcule o integral de superfície do campo escalar $g(x, y, z) = \sqrt{x^2 + y^2}$ sobre a superfície, S , parametrizada através de

$$\vec{r}(u, v) = u \cos(2v) \vec{i} + u \sin(2v) \vec{j} + 2v \vec{k}, \quad (u, v) \in \Omega$$

em que $\Omega = \{(u, v) : 0 \leq u \leq 1, 0 \leq v \leq \pi\}$.

Solução:

Notando que

$$\begin{aligned}\vec{N}(u, v) &= \frac{\partial \vec{r}}{\partial u} \times \frac{\partial \vec{r}}{\partial v} = 2 \begin{vmatrix} \vec{i} & \vec{j} & \vec{k} \\ \cos(2v) & \sin(2v) & 0 \\ -u \sin(2v) & u \cos(2v) & 1 \end{vmatrix} = \\ &= 2 \sin(2v) \vec{i} - 2 \cos(2v) \vec{j} + 2u \vec{k} \\ \|\vec{N}(u, v)\| &= 2\sqrt{1 + u^2}\end{aligned}$$

$$\begin{aligned}
 g[\vec{r}(u,v)] &= \sqrt{x^2(u,v) + y^2(u,v)} = \\
 &= \sqrt{u^2 \cos^2(2v) + u^2 \sin^2(2v)} = |u| = u \quad (0 \leq u \leq 1)
 \end{aligned}$$

obtém-se para o integral de superfície:

$$\iint_S \sqrt{x^2 + y^2} dS = 2 \int_0^\pi \int_0^1 u \sqrt{1 + u^2} du dv = \frac{2\pi}{3} \left[(1 + u^2)^{3/2} \right]_0^1 = \frac{2\pi}{3} (2\sqrt{2} - 1)$$

Propriedades do integral de superfície

- Tal como acontece com outros processos de integração, também é possível estabelecer uma condição de valor médio para o integral de superfície.

Teorema 1: Sejam $h(x,y,z)$ e $g(x,y,z)$ campos escalares contínuos numa superfície regular, S . Se $g(x,y,z) \geq 0$ em S , então existe um ponto $(x_0, y_0, z_0) \in S$ tal que:

$$\iint_S h(x,y,z)g(x,y,z)dS = h(x_0, y_0, z_0) \iint_S g(x,y,z)dS$$

O valor $h(x_0, y_0, z_0)$ chama-se *média ponderada da função $h(x,y,z)$ em S através da função (de peso) $g(x,y,z)$* .

- As coordenadas do centro de massa, (x_M, y_M, z_M) , de uma superfície, S , com densidade $\lambda(x, y, z)$ são dadas por

$$x_M = \frac{1}{M(S)} \iint_S x \lambda(x, y, z) dS, \quad y_M = \frac{1}{M(S)} \iint_S y \lambda(x, y, z) dS$$

$$z_M = \frac{1}{M(S)} \iint_S z \lambda(x, y, z) dS \quad (3)$$

onde $M(S)$ é a massa da superfície.

- Considerando $\lambda(x, y, z) = 1$ nas expressões (3) e tendo em atenção (1), obtêm-se as coordenadas do centroide, $(\bar{x}, \bar{y}, \bar{z})$, da superfície, ou seja,

$$\bar{x} = \frac{1}{A(S)} \iint_S x dS, \quad \bar{y} = \frac{1}{A(S)} \iint_S y dS, \quad \bar{z} = \frac{1}{A(S)} \iint_S z dS$$

onde $A(S)$ é a área da superfície.

- Admitindo que a superfície roda em torno de um eixo, L , o *momento de inércia*, I_L , da superfície *em relação ao eixo de rotação L* é

$$I_L = \iint_S \lambda(x, y, z) [R_L(x, y, z)]^2 dS$$

onde $R_L(x, y, z)$ exprime a distância de cada ponto da superfície ao eixo em causa.

Exemplo 3: Determine a posição do centro de massa da superfície S

$$x^2 + y^2 + z^2 = a^2, \quad z \geq 0 \quad (a > 0)$$

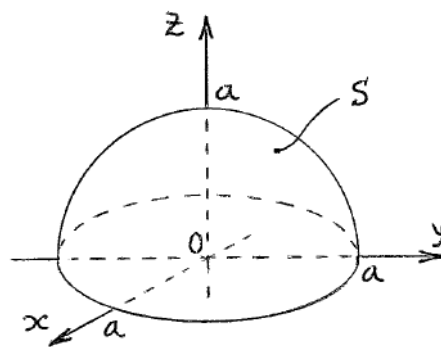
sabendo que a densidade em cada um dos seus pontos, $\lambda(x, y, z)$, é directamente proporcional à distância ao plano xOy .

Solução:

A superfície, S , é uma casca semi-esférica que pode ser parametrizada, recorrendo a coordenadas esféricas, por

$$\vec{r}(\theta, \phi) = a \cos(\theta) \sin(\phi) \vec{i} + a \sin(\theta) \sin(\phi) \vec{j} + a \cos(\phi) \vec{k}, \quad (\theta, \phi) \in R$$

em que $R = \{(\theta, \phi) : 0 \leq \theta \leq 2\pi, 0 \leq \phi \leq \pi/2\}$ (exemplo 5, capítulo 6).



A norma do seu produto vectorial fundamental é (exemplo 14, capítulo 6):

$$\|\vec{N}(\theta, \phi)\| = a^2 \sin(\phi)$$

O campo escalar que define a densidade pode ser escrito sob a forma

$$\lambda(x, y, z) = kz, \quad k > 0$$

onde k é uma constante de proporcionalidade.

Uma vez que a superfície é, em termos geométricos/materiais, simétrica em relação aos planos xOz e yOz , então a abcissa e a ordenada do seu centro de massa são nulas, $x_M = y_M = 0$.

Notando que

$$\lambda[\vec{r}(\theta, \phi)] = kz(\theta, \phi) = ka \cos(\phi)$$

a massa da superfície é:

$$\begin{aligned} M(S) &= \iint_S \lambda(x, y, z) \, dS = ka^3 \int_0^{\pi/2} \int_0^{2\pi} \cos(\phi) \sin(\phi) \, d\theta d\phi = \\ &= 2\pi ka^3 \int_0^{\pi/2} \cos(\phi) \sin(\phi) \, d\phi = \pi ka^3 \left[\sin^2(\phi) \right]_0^{\pi/2} = \pi ka^3 \end{aligned}$$

Por outro lado, dado que

$$(z\lambda)[\vec{r}(\theta, \phi)] = kz^2(\theta, \phi) = ka^2 \cos^2(\phi)$$

então:

$$\begin{aligned} \iint_S z\lambda(x, y, z) \, dS &= ka^4 \int_0^{\pi/2} \int_0^{2\pi} \sin(\phi) \cos^2(\phi) \, d\theta d\phi = \\ &= 2\pi ka^4 \int_0^{\pi/2} \sin(\phi) \cos^2(\phi) \, d\phi = \\ &= \frac{2}{3} \pi ka^4 \left[-\cos^3(\phi) \right]_0^{\pi/2} = \frac{2}{3} \pi ka^4 \end{aligned}$$

Obtém-se, assim:

$$z_M = \frac{1}{M(S)} \iint_S z\lambda(x, y, z) \, dS = \frac{2a}{3}$$

Concluindo, o centro de massa da superfície é o ponto com coordenadas:

$$(x_M, y_M, z_M) = \left(0, 0, \frac{2a}{3} \right)$$

Fluxo de um campo vectorial

- Seja S uma superfície *simples e regular* parametrizada através de uma função vectorial diferenciável

$$\vec{r}(u,v), (u,v) \in \Omega \quad (4)$$

e seja $\vec{n}(x,y,z)$ a função que define, em cada ponto de S , o versor normal à superfície e que se admite como sendo uma função contínua em S ; nestas condições, a superfície S é designada por *superfície orientada*.

Convém referir que uma superfície deste tipo possui duas faces: a face que tem \vec{n} como versor e a face cujo versor normal é $-\vec{n}$.

- Se $\vec{v}(x,y,z)$ é um campo vectorial contínuo em S , então o integral de superfície dado por

$$\iint_S (\vec{v} \cdot \vec{n}) \, dS = \iint_S [\vec{v}(x,y,z) \cdot \vec{n}(x,y,z)] \, dS \quad (5)$$

é designado por *fluxo do campo vectorial $\vec{v}(x,y,z)$ através de S na direcção de \vec{n}* .

- O fluxo de um campo vectorial através de uma *superfície orientada* depende da orientação do versor normal à superfície. Se na expressão (5) for considerado, em vez de \vec{n} , o versor normal $-\vec{n}$, é fácil concluir que o fluxo sofre uma alteração no seu sinal, isto é:

$$\iint_S [\vec{v} \cdot (-\vec{n})] \, dS = \iint_S -(\vec{v} \cdot \vec{n}) \, dS = -\iint_S (\vec{v} \cdot \vec{n}) \, dS$$

- Recorrendo a (4) e notando que

$$dS = \|\vec{N}(u, v)\| \, du dv$$

o integral de fluxo (5) pode ser escrito sob a forma:

$$\iint_S (\vec{v} \cdot \vec{n}) \, dS = \iint_{\Omega} \vec{v}[\vec{r}(u, v)] \cdot \vec{n}(u, v) \|\vec{N}(u, v)\| \, du dv \quad (6)$$

- O integral de fluxo (6) pode ser reescrito em função do produto vectorial fundamental, $\vec{N}(u, v)$, da superfície. Neste caso,

$$\iint_S (\vec{v} \cdot \vec{n}) \, dS = \iint_{\Omega} \vec{v}[\vec{r}(u, v)] \cdot \vec{N}(u, v) \, du dv \quad (7)$$

se os vectores $\vec{n}(u, v)$ e $\vec{N}(u, v)$ possuem o mesmo sentido,

$$\vec{n}(u, v) = + \frac{\vec{N}(u, v)}{\|\vec{N}(u, v)\|}$$

e, por outro lado,

$$\iint_S (\vec{v} \cdot \vec{n}) \, dS = - \iint_{\Omega} \vec{v}[\vec{r}(u, v)] \cdot \vec{N}(u, v) \, du dv \quad (8)$$

se os vectores $\vec{n}(u, v)$ e $\vec{N}(u, v)$ possuem sentidos opostos:

$$\vec{n}(u, v) = - \frac{\vec{N}(u, v)}{\|\vec{N}(u, v)\|}$$

Exemplo 4: Calcule o fluxo do campo vectorial

$$\vec{v}(x, y, z) = x\vec{i} + y\vec{j} + xz\vec{k}$$

através da superfície esférica

$$S : x^2 + y^2 + z^2 = a^2 \quad (a > 0)$$

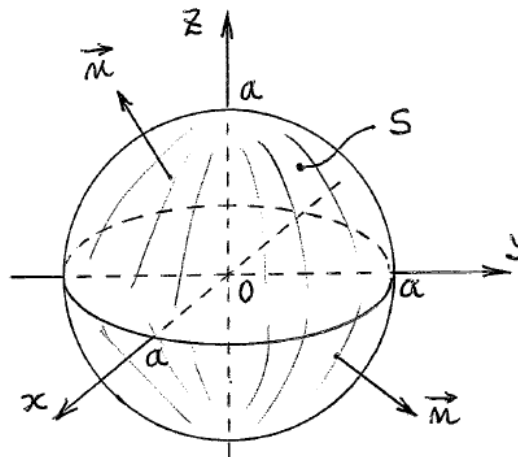
no sentido *de dentro para fora* da superfície.

Solução:

A superfície esférica orientada, S , pode ser parametrizada, recorrendo a coordenadas esféricas, através da função vectorial

$$\vec{r}(\theta, \phi) = a \cos(\theta) \sin(\phi) \vec{i} + a \sin(\theta) \sin(\phi) \vec{j} + a \cos(\phi) \vec{k}, \quad (\theta, \phi) \in R$$

em que $R = \{(\theta, \phi) : 0 \leq \theta \leq 2\pi, 0 \leq \phi \leq \pi\}$ (exemplo 5, capítulo 6).



O seu produto vectorial fundamental é (exemplo 10, capítulo 6):

$$\vec{N}(\theta, \phi) = -a^2 \sin(\phi) (\cos(\theta) \sin(\phi) \vec{i} + \sin(\theta) \sin(\phi) \vec{j} + \cos(\phi) \vec{k})$$

Dado que

$$\vec{N}(\theta, \phi) \cdot \vec{k} = -a^2 \sin(\phi) \cos(\phi) < 0, \text{ se } \phi < \pi / 2$$

e

$$\vec{N}(\theta, \phi) \cdot \vec{k} > 0, \text{ se } \phi > \pi / 2$$

então o produto vectorial fundamental, $\vec{N}(\theta, \phi)$, está orientado no sentido *de fora para dentro* de S , ou seja, tem o sentido oposto ao que é considerado para o versor normal à superfície, $\vec{n}(\theta, \phi)$.

Uma vez que

$$\vec{v}[\vec{r}(\theta, \phi)] = a \cos(\theta) \sin(\phi) \vec{i} + a \sin(\theta) \sin(\phi) \vec{j} + a^2 \cos(\theta) \sin(\phi) \cos(\phi) \vec{k}$$

$$\vec{v}[\vec{r}(\theta, \phi)] \cdot \vec{N}(\theta, \phi) = -a^3 \sin^3(\phi) - a^4 \cos(\theta) \sin^2(\phi) \cos^2(\phi)$$

atendendo a (8), obtém-se para o fluxo:

$$\begin{aligned} \iint_S (\vec{v} \cdot \vec{n}) \, dS &= - \int_0^\pi \int_0^{2\pi} \left(-a^3 \sin^3(\phi) - a^4 \cos(\theta) \sin^2(\phi) \cos^2(\phi) \right) d\theta d\phi = \\ &= 2\pi a^3 \int_0^\pi \sin^3(\phi) \, d\phi = \\ &= 2\pi a^3 \int_0^\pi \sin(\phi) \, d\phi - 2\pi a^3 \int_0^\pi \sin(\phi) \cos^2(\phi) \, d\phi = \\ &= -2\pi a^3 [\cos(\phi)]_0^\pi + \frac{2}{3} \pi a^3 [\cos^3(\phi)]_0^\pi = \\ &= 4\pi a^3 - \frac{4}{3} \pi a^3 = \frac{8}{3} \pi a^3 \end{aligned}$$

Exemplo 5: Calcule o fluxo do campo vectorial

$$\vec{v}(x, y, z) = x\vec{i} + y\vec{j} + 3z\vec{k}$$

através da superfície do parabolóide

$$S : z = 1 - (x^2 + y^2), \quad z \geq 0$$

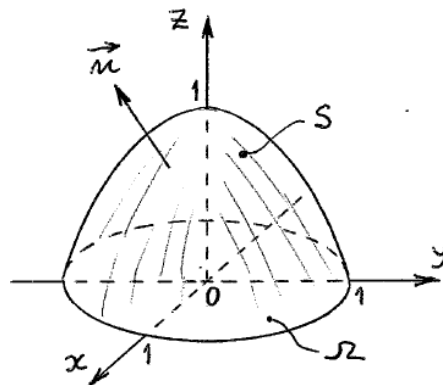
no sentido *de dentro para fora* da superfície.

Solução:

A superfície parabólica orientada, S , pode ser parametrizada através da função vectorial

$$\vec{r}(x, y) = x\vec{i} + y\vec{j} + (1 - x^2 - y^2)\vec{k}, \quad (x, y) \in \Omega$$

em que $\Omega = \{(x, y) : 0 \leq x^2 + y^2 \leq 1\}$.



O seu produto vectorial fundamental é:

$$\vec{N}(x, y) = \frac{\partial \vec{r}}{\partial x} \times \frac{\partial \vec{r}}{\partial y} = \begin{vmatrix} \vec{i} & \vec{j} & \vec{k} \\ 1 & 0 & -2x \\ 0 & 1 & -2y \end{vmatrix} = 2x\vec{i} + 2y\vec{j} + \vec{k}$$

Neste caso, pode-se verificar que o produto vectorial fundamental, $\vec{N}(x, y)$, e o versor normal a S , $\vec{n}(x, y)$, estão orientados no mesmo sentido, isto é, no sentido *de dentro para fora* da superfície.

Assim, atendendo a (7) e sabendo que

$$\vec{v}[\vec{r}(x, y)] = x\vec{i} + y\vec{j} + 3(1 - x^2 - y^2)\vec{k}$$

$$\vec{v}[\vec{r}(x, y)] \cdot \vec{N}(x, y) = 2x^2 + 2y^2 + 3(1 - x^2 - y^2) = 3 - (x^2 + y^2)$$

obtem-se para o fluxo

$$\begin{aligned} \iint_S (\vec{v} \cdot \vec{n}) \, dS &= 3 \iint_{\Omega} dx dy - \iint_{\Omega} (x^2 + y^2) dx dy = \\ &= 3A(\Omega) - \iint_{\Omega} (x^2 + y^2) dx dy = 3\pi - \iint_{\Omega} (x^2 + y^2) dx dy \end{aligned}$$

onde $A(\Omega) = \pi$ é a área da região Ω .

Recorrendo a coordenadas polares

$$x = r \cos(\theta) \quad , \quad y = r \sin(\theta) \quad , \quad dx dy = r \, dr d\theta$$

então

$$x^2 + y^2 = r^2 \quad , \quad (r, \theta) \in \Omega_1$$

$$\Omega_1 = \{(\theta, r) : 0 \leq \theta \leq 2\pi \quad , \quad 0 \leq r \leq 1\}$$

e, portanto:

$$\iint_S (\vec{v} \cdot \vec{n}) \, dS = 3\pi - \int_0^{2\pi} \int_0^1 r^3 \, dr d\theta = 3\pi - \frac{\pi}{2} = \frac{5\pi}{2}$$

- O fluxo através de uma *superfície orientada e fechada por secções* (por exemplo, a superfície lateral de um prisma, a superfície de um cilindro fechado nas suas bases e a superfície de um parabolóide fechado na sua base) pode ser determinado somando as contribuições, para o fluxo, de cada uma das secções que limitam essa superfície.

Exemplo 6: Calcule o fluxo do campo vectorial

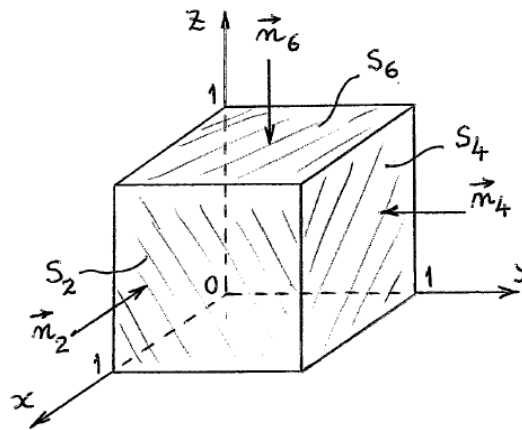
$$\vec{v}(x, y, z) = xy\vec{i} + 2yz^2\vec{j} + yz\vec{k}$$

através da superfície, S , que limita o cubo unitário, T , situado no primeiro octante

$$T = \{(x, y, z) : 0 \leq x \leq 1, 0 \leq y \leq 1, 0 \leq z \leq 1\}$$

no sentido *de fora para dentro* da superfície.

Solução:



A superfície que limita o cubo, S , é uma superfície orientada e fechada por secções e pode ser decomposta em seis secções planas, cujos versores normais, orientados de acordo com o que é exigido no problema, são:

$$\text{Secção } S_1 = \{(x, y, z) : x = 0, 0 \leq y \leq 1, 0 \leq z \leq 1\} \text{ e } \vec{n}_1(x, y, z) = \vec{i}$$

$$\text{Secção } S_2 = \{(x, y, z) : x = 1, 0 \leq y \leq 1, 0 \leq z \leq 1\} \text{ e } \vec{n}_2(x, y, z) = -\vec{i}$$

$$\text{Secção } S_3 = \{(x, y, z) : y = 0, 0 \leq x \leq 1, 0 \leq z \leq 1\} \text{ e } \vec{n}_3(x, y, z) = \vec{j}$$

$$\text{Secção } S_4 = \{(x, y, z) : y = 1, 0 \leq x \leq 1, 0 \leq z \leq 1\} \text{ e } \vec{n}_4(x, y, z) = -\vec{j}$$

$$\text{Secção } S_5 = \{(x, y, z) : z = 0, 0 \leq x \leq 1, 0 \leq y \leq 1\} \text{ e } \vec{n}_5(x, y, z) = \vec{k}$$

$$\text{Secção } S_6 = \{(x, y, z) : z = 1, 0 \leq x \leq 1, 0 \leq y \leq 1\} \text{ e } \vec{n}_6(x, y, z) = -\vec{k}$$

Em relação à secção S_1 obtém-se:

$$\vec{v}(0, y, z) = 2yz^2 \vec{j} + yz \vec{k} \quad , \quad \vec{v}(0, y, z) \cdot \vec{n}_1(x, y, z) = 0$$

$$\iint_{S_1} (\vec{v} \cdot \vec{n}_1) dS = 0$$

Em relação à secção S_2 obtém-se:

$$\vec{v}(1, y, z) = y \vec{i} + 2yz^2 \vec{j} + yz \vec{k} \quad , \quad \vec{v}(1, y, z) \cdot \vec{n}_2(x, y, z) = -y$$

$$\iint_{S_2} (\vec{v} \cdot \vec{n}_2) dS = \int_0^1 \int_0^1 (-y) dy dz = -\frac{1}{2}$$

Em relação à secção S_3 obtém-se:

$$\vec{v}(x, 0, z) = \vec{0} \quad , \quad \vec{v}(x, 0, z) \cdot \vec{n}_3(x, y, z) = 0$$

$$\iint_{S_3} (\vec{v} \cdot \vec{n}_3) dS = 0$$

Em relação à secção S_4 obtém-se:

$$\vec{v}(x, 1, z) = x \vec{i} + 2z^2 \vec{j} + z \vec{k} \quad , \quad \vec{v}(x, 1, z) \cdot \vec{n}_4(x, y, z) = -2z^2$$

$$\iint_{S_4} (\vec{v} \cdot \vec{n}_4) dS = \int_0^1 \int_0^1 (-2z^2) dx dz = -\frac{2}{3}$$

Em relação à secção S_5 obtém-se:

$$\vec{v}(x, y, 0) = xy \vec{i} \quad , \quad \vec{v}(x, y, 0) \cdot \vec{n}_5(x, y, z) = 0$$

$$\iint_{S_5} (\vec{v} \cdot \vec{n}_5) dS = 0$$

Em relação à secção S_6 obtém-se:

$$\vec{v}(x, y, 1) = xy\vec{i} + 2y\vec{j} + y\vec{k} \quad , \quad \vec{v}(x, y, 1) \cdot \vec{n}_6(x, y, z) = -y$$

$$\iint_{S_6} (\vec{v} \cdot \vec{n}_6) \, dS = \int_0^1 \int_0^1 (-y) \, dx \, dy = -\frac{1}{2}$$

Então, o fluxo do campo vectorial $\vec{v}(x, y, z)$ através da superfície lateral do cubo, S , no sentido *de fora para dentro* da superfície, é:

$$\iint_S (\vec{v} \cdot \vec{n}) \, dS = \sum_{i=1}^6 \iint_{S_i} (\vec{v} \cdot \vec{n}_i) \, dS = -\frac{1}{2} - \frac{2}{3} - \frac{1}{2} = -\frac{5}{3}$$

- O conceito de fluxo é aplicado quando se estudam, por exemplo, problemas no âmbito da mecânica dos fluidos. Assim, considere-se um fluido em movimento no espaço, tal que o vector velocidade, em cada ponto (x, y, z) , é definido pelo campo vectorial $\vec{v}(x, y, z)$; para simplificar a análise, admita-se que $\vec{v}(x, y, z)$ não varia com o tempo (escoamento em *regime estacionário*).

Fixe-se uma região do espaço, S , representada por uma superfície *orientada, simples e regular* e seja $\vec{n} = \vec{n}(x, y, z)$ a função que define, em cada ponto de S , o *versor normal* à superfície.

O fluxo do campo vectorial $\vec{v}(x, y, z)$ através de S , definido em (5), representa, em termos relativos, o *caudal* (volume por unidade de tempo) de fluido que atravessa S , a partir da face com *versor normal* $-\vec{n}$ para a face com *versor normal* \vec{n} , sendo de realçar o seguinte:

- i) O fluxo é *positivo*, se $\vec{v} \cdot \vec{n} > 0$; neste caso, a transferência de matéria dá-se no sentido admitido para a orientação de S ;
- ii) O fluxo é *negativo*, se $\vec{v} \cdot \vec{n} < 0$; neste caso, a transferência de matéria dá-se no sentido oposto àquele que define a orientação de S .

Integral de fluxo: notação diferencial

- A expressão do integral de fluxo apresentada em (5) pode ser reescrita, tal como ocorreu com o integral de linha, usando uma *notação diferencial*.

Assim, considere-se o campo vectorial

$$\vec{v}(x, y, z) = P(x, y, z)\vec{i} + Q(x, y, z)\vec{j} + R(x, y, z)\vec{k}$$

e a superfície *orientada, simples e regular*, S , parametrizada através de uma função vectorial diferenciável:

$$\vec{r}(u, v) = x(u, v)\vec{i} + y(u, v)\vec{j} + z(u, v)\vec{k}, \quad (u, v) \in \Omega$$

Seja o produto vectorial fundamental da superfície, dado por:

$$\begin{aligned} \vec{N}(u, v) &= \frac{\partial \vec{r}}{\partial u} \times \frac{\partial \vec{r}}{\partial v} = \begin{vmatrix} \vec{i} & \vec{j} & \vec{k} \\ \partial x / \partial u & \partial y / \partial u & \partial z / \partial u \\ \partial x / \partial v & \partial y / \partial v & \partial z / \partial v \end{vmatrix} = \\ &= \begin{vmatrix} \partial y / \partial u & \partial z / \partial u \\ \partial y / \partial v & \partial z / \partial v \end{vmatrix} \vec{i} - \begin{vmatrix} \partial x / \partial u & \partial z / \partial u \\ \partial x / \partial v & \partial z / \partial v \end{vmatrix} \vec{j} + \begin{vmatrix} \partial x / \partial u & \partial y / \partial u \\ \partial x / \partial v & \partial y / \partial v \end{vmatrix} \vec{k} = \\ &= \frac{\partial(y, z)}{\partial(u, v)} \vec{i} + \frac{\partial(z, x)}{\partial(u, v)} \vec{j} + \frac{\partial(x, y)}{\partial(u, v)} \vec{k} \end{aligned}$$

Notando que

$$\begin{aligned} \vec{v}[\vec{r}(u, v)] \cdot \vec{N}(u, v) &= \\ &= P[\vec{r}(u, v)] \frac{\partial(y, z)}{\partial(u, v)} + Q[\vec{r}(u, v)] \frac{\partial(z, x)}{\partial(u, v)} + R[\vec{r}(u, v)] \frac{\partial(x, y)}{\partial(u, v)} \end{aligned}$$

e admitindo que $\vec{N}(u, v)$ e o versor normal, $\vec{n}(u, v)$, estão orientados no mesmo sentido, resulta:

$$\begin{aligned} \iint_S (\vec{v} \cdot \vec{n}) \, dS &= \iint_{\Omega} \vec{v}[\vec{r}(u, v)] \cdot \vec{N}(u, v) \, du \, dv = \\ &= \iint_{\Omega} P[\vec{r}(u, v)] \frac{\partial(y, z)}{\partial(u, v)} \, du \, dv + \iint_{\Omega} Q[\vec{r}(u, v)] \frac{\partial(z, x)}{\partial(u, v)} \, du \, dv + \\ &\quad + \iint_{\Omega} R[\vec{r}(u, v)] \frac{\partial(x, y)}{\partial(u, v)} \, du \, dv \end{aligned}$$

Designando

$$\frac{\partial(y, z)}{\partial(u, v)} \, du \, dv = dy \wedge dz$$

$$\frac{\partial(z, x)}{\partial(u, v)} \, du \, dv = dz \wedge dx$$

$$\frac{\partial(x, y)}{\partial(u, v)} \, du \, dv = dx \wedge dy$$

obtém-se, em alternativa,

$$\begin{aligned} \iint_S (\vec{v} \cdot \vec{n}) \, dS &= \iint_S P(x, y, z) \, dy \wedge dz + \iint_S Q(x, y, z) \, dz \wedge dx + \\ &\quad + \iint_S R(x, y, z) \, dx \wedge dy \end{aligned}$$

ou ainda, sob um modo mais compacto:

$$\iint_S (\vec{v} \cdot \vec{n}) \, dS = \iint_S P \, dy \wedge dz + Q \, dz \wedge dx + R \, dx \wedge dy$$

O operador vectorial diferencial ∇ (nabla)

- O *operador vectorial diferencial*, ∇ , por vezes também designado por *operador gradiente*, é definido por

$$\nabla = \frac{\partial}{\partial x} \vec{i} + \frac{\partial}{\partial y} \vec{j} + \frac{\partial}{\partial z} \vec{k}$$

e tanto pode ser aplicado a *campos escalares*, como a *campos vectoriais*.

Gradiente de um campo escalar, ∇f

- Se $f(x, y, z)$ é um *campo escalar*, então

$$\nabla f(x, y, z) = \left(\frac{\partial}{\partial x} \vec{i} + \frac{\partial}{\partial y} \vec{j} + \frac{\partial}{\partial z} \vec{k} \right) f(x, y, z) = \frac{\partial f}{\partial x} \vec{i} + \frac{\partial f}{\partial y} \vec{j} + \frac{\partial f}{\partial z} \vec{k}$$

designa o *gradiente* de $f(x, y, z)$ no ponto (x, y, z) .

A função resultante, $\nabla f(x, y, z)$, é um campo vectorial e pode ser usada, por exemplo, no cálculo da *derivada direccional* de $f(x, y, z)$ num ponto ou na definição do *plano tangente* a uma *superfície de nível* que passa num ponto, ou seja, a uma superfície do tipo $f(x, y, z) = k$, $k \in \mathbb{R}$ (tal como vimos no capítulo 2).

Exemplo 7: O gradiente do campo escalar

$$f(x, y, z) = x^3 z + xy^2 z^2 - 2yz + 2x - 1$$

é o campo vectorial:

$$\nabla f(x, y, z) = (3x^2 z + y^2 z^2 + 2) \vec{i} + (2xyz^2 - 2z) \vec{j} + (x^3 + 2xy^2 z - 2y) \vec{k}$$

Divergência de um campo vectorial, $\nabla \cdot \vec{f} = \text{div } \vec{f}$

- Dado o campo vectorial

$$\vec{f}(x, y, z) = f_1(x, y, z)\vec{i} + f_2(x, y, z)\vec{j} + f_3(x, y, z)\vec{k}$$

o campo escalar definido por

$$\nabla \cdot \vec{f}(x, y, z) = \text{div } \vec{f}(x, y, z) = \frac{\partial f_1}{\partial x} + \frac{\partial f_2}{\partial y} + \frac{\partial f_3}{\partial z}$$

chama-se *divergência de $\vec{f}(x, y, z)$* no ponto (x, y, z) .

- O campo vectorial $\vec{f}(x, y, z)$ diz-se *solenoidal* quando $\nabla \cdot \vec{f}(x, y, z) = 0$.

Exemplo 8: A divergência do campo vectorial

$$\vec{v}(x, y, z) = \alpha \vec{r}(x, y, z) = \alpha x\vec{i} + \alpha y\vec{j} + \alpha z\vec{k} \quad (9)$$

é o campo escalar:

$$\nabla \cdot \vec{v}(x, y, z) = \alpha \frac{\partial v_1}{\partial x} + \alpha \frac{\partial v_2}{\partial y} + \alpha \frac{\partial v_3}{\partial z} = 3\alpha$$

O campo vectorial não é solenoidal, se $\alpha \neq 0$.

Exemplo 9: Seja o campo vectorial:

$$\vec{v}(x, y, z) = \frac{\alpha x}{\sqrt{x^2 + y^2}}\vec{i} + \frac{\alpha y}{\sqrt{x^2 + y^2}}\vec{j} + 0\vec{k}, \quad (x, y) \neq (0, 0) \quad (10)$$

Calculando as derivadas parciais

$$\frac{\partial v_1}{\partial x} = \frac{\alpha y^2}{(x^2 + y^2)^{3/2}}, \quad \frac{\partial v_2}{\partial y} = \frac{\alpha x^2}{(x^2 + y^2)^{3/2}}, \quad \frac{\partial v_3}{\partial z} = 0 \quad (11)$$

obtem-se para a divergência de $\vec{v}(x, y, z)$:

$$\nabla \cdot \vec{v}(x, y, z) = \frac{\partial v_1}{\partial x} + \frac{\partial v_2}{\partial y} + \frac{\partial v_3}{\partial z} = \frac{\alpha}{\sqrt{x^2 + y^2}} \quad (12)$$

O campo vectorial não é solenoidal, se $\alpha \neq 0$.

Exemplo 10: Seja o campo vectorial:

$$\vec{v}(x, y, z) = -\frac{\alpha y}{\sqrt{x^2 + y^2}} \vec{i} + \frac{\alpha x}{\sqrt{x^2 + y^2}} \vec{j} + 0\vec{k}, \quad (x, y) \neq (0, 0) \quad (13)$$

Recorrendo às derivadas parciais

$$\frac{\partial v_1}{\partial x} = \frac{\alpha xy}{(x^2 + y^2)^{3/2}}, \quad \frac{\partial v_2}{\partial y} = -\frac{\alpha xy}{(x^2 + y^2)^{3/2}}, \quad \frac{\partial v_3}{\partial z} = 0 \quad (14)$$

conclui-se que

$$\nabla \cdot \vec{v}(x, y, z) = \frac{\partial v_1}{\partial x} + \frac{\partial v_2}{\partial y} + \frac{\partial v_3}{\partial z} = 0$$

ou seja, o campo vectorial é *solenoidal*.

Rotacional de um campo vectorial, $\nabla \times \vec{f} = \text{rot } \vec{f}$

- Considerando o campo vectorial

$$\vec{f}(x, y, z) = f_1(x, y, z)\vec{i} + f_2(x, y, z)\vec{j} + f_3(x, y, z)\vec{k}$$

o campo vectorial dado por

$$\begin{aligned}\nabla \times \vec{f}(x, y, z) = \text{rot } \vec{f}(x, y, z) &= \begin{vmatrix} \vec{i} & \vec{j} & \vec{k} \\ \frac{\partial}{\partial x} & \frac{\partial}{\partial y} & \frac{\partial}{\partial z} \\ f_1 & f_2 & f_3 \end{vmatrix} = \\ &= \left(\frac{\partial f_3}{\partial y} - \frac{\partial f_2}{\partial z} \right) \vec{i} + \left(\frac{\partial f_1}{\partial z} - \frac{\partial f_3}{\partial x} \right) \vec{j} + \left(\frac{\partial f_2}{\partial x} - \frac{\partial f_1}{\partial y} \right) \vec{k}\end{aligned}$$

chama-se *rotacional de $\vec{f}(x, y, z)$* no ponto (x, y, z) .

- O campo vectorial $\vec{f}(x, y, z)$ diz-se *irrotacional* quando $\nabla \times \vec{f}(x, y, z) = \vec{0}$.
- A propriedade apresentada no teorema seguinte estabelece uma condição para que um campo vectorial, $\vec{v}(x, y, z)$, seja *gradiente*, ou seja, para que $\vec{v}(x, y, z) = \nabla f(x, y, z)$, em que $f(x, y, z)$ é um dado campo escalar.

Teorema 2: O rotacional de um gradiente é o vector nulo, isto é, se $f(x, y, z)$ é um campo escalar com derivadas parciais de segunda ordem contínuas, então:

$$\nabla \times (\nabla f) = \vec{0}$$

- Em face do teorema anterior pode-se, ainda, afirmar que um campo vectorial, $\vec{v}(x, y, z)$, é *gradiente*, se e só se for *irrotacional*.

Exemplo 11: O rotacional do campo vectorial $\vec{v}(x, y, z)$ definido em (9) é:

$$\nabla \times \vec{v}(x, y, z) = \alpha \begin{vmatrix} \vec{i} & \vec{j} & \vec{k} \\ \frac{\partial}{\partial x} & \frac{\partial}{\partial y} & \frac{\partial}{\partial z} \\ x & y & z \end{vmatrix} = \vec{0}$$

Conclui-se, então, que o campo vectorial é *gradiente* (*irrotacional*).

Exemplo 12: Seja o campo vectorial $\vec{v}(x, y, z)$ definido em (10). Notando que

$$\frac{\partial v_1}{\partial y} = -\frac{\alpha xy}{(x^2 + y^2)^{3/2}}, \quad \frac{\partial v_2}{\partial x} = -\frac{\alpha xy}{(x^2 + y^2)^{3/2}} \quad (15)$$

$$\frac{\partial v_1}{\partial z} = \frac{\partial v_2}{\partial z} = 0$$

resulta para o rotacional de $\vec{v}(x, y, z)$

$$\nabla \times \vec{v}(x, y, z) = \begin{vmatrix} \vec{i} & \vec{j} & \vec{k} \\ \frac{\partial}{\partial x} & \frac{\partial}{\partial y} & \frac{\partial}{\partial z} \\ v_1 & v_2 & 0 \end{vmatrix} = \left(\frac{\partial v_2}{\partial x} - \frac{\partial v_1}{\partial y} \right) \vec{k} = \vec{0}$$

ou seja, trata-se de um campo vectorial *gradiente* (*irrotacional*).

Exemplo 13: Seja o campo vectorial $\vec{v}(x, y, z)$ definido em (13). Notando que

$$\frac{\partial v_1}{\partial y} = \frac{-\alpha}{(x^2 + y^2)^{1/2}} + \frac{\alpha y^2}{(x^2 + y^2)^{3/2}} \quad (16)$$

$$\frac{\partial v_2}{\partial x} = \frac{\alpha}{(x^2 + y^2)^{1/2}} - \frac{\alpha x^2}{(x^2 + y^2)^{3/2}} \quad (17)$$

$$\frac{\partial v_1}{\partial z} = \frac{\partial v_2}{\partial z} = 0$$

resulta para o rotacional de $\vec{v}(x, y, z)$:

$$\nabla \times \vec{v}(x, y, z) = \begin{vmatrix} \vec{i} & \vec{j} & \vec{k} \\ \frac{\partial}{\partial x} & \frac{\partial}{\partial y} & \frac{\partial}{\partial z} \\ v_1 & v_2 & 0 \end{vmatrix} = \left(\frac{\partial v_2}{\partial x} - \frac{\partial v_1}{\partial y} \right) \vec{k} = \frac{\alpha}{\sqrt{x^2 + y^2}} \vec{k} \quad (18)$$

- Atente-se em mais algumas propriedades que envolvem a divergência e o rotacional.

Teorema 3: A divergência de um rotacional é nula, isto é, se as componentes de um campo vectorial $\vec{v}(x, y, z)$ possuem derivadas parciais de segunda ordem contínuas, então:

$$\nabla \cdot (\nabla \times \vec{v}) = 0$$

Teorema 4: Se $f(x, y, z)$ um campo escalar e se $\vec{u}(x, y, z)$ e $\vec{v}(x, y, z)$ são campos vectoriais, então:

$$\nabla \cdot (f \vec{v}) = (\nabla f) \cdot \vec{v} + f(\nabla \cdot \vec{v})$$

$$\nabla \times (f \vec{v}) = (\nabla f) \times \vec{v} + f(\nabla \times \vec{v})$$

$$\nabla \cdot (\vec{u} \times \vec{v}) = (\nabla \times \vec{u}) \cdot \vec{v} - \vec{u} \cdot (\nabla \times \vec{v})$$

Teorema 5: Seja o campo vectorial $\vec{r}(x, y, z) = x\vec{i} + y\vec{j} + z\vec{k}$, tal que $r(x, y, z) = \|\vec{r}(x, y, z)\|$. Se $n \in \mathbb{N}$, então para todo o $\vec{r} \neq \vec{0}$ verifica-se:

$$\nabla \cdot (r^n \vec{r}) = (n+3)r^n$$

$$\nabla \times (r^n \vec{r}) = \vec{0}$$

Laplaciano de um campo escalar, $\nabla^2 f$

- Seja $f(x, y, z)$ um campo escalar. O campo escalar definido por

$$\nabla^2 f(x, y, z) = \nabla \cdot (\nabla f(x, y, z)) = \frac{\partial^2 f}{\partial x^2} + \frac{\partial^2 f}{\partial y^2} + \frac{\partial^2 f}{\partial z^2}$$

designa o *laplaciano* de $f(x, y, z)$ no ponto (x, y, z) .

Exemplo 14: O laplaciano do campo escalar

$$f(x, y, z) = x^2 + y^2 + z^2$$

é o campo escalar:

$$\nabla^2 f(x, y, z) = \frac{\partial^2}{\partial x^2}(x^2 + y^2 + z^2) + \frac{\partial^2}{\partial y^2}(x^2 + y^2 + z^2) + \frac{\partial^2}{\partial z^2}(x^2 + y^2 + z^2) = 6$$

Exemplo 15: O laplaciano do campo escalar

$$g(x, y, z) = e^{xyz}$$

é o campo escalar:

$$\begin{aligned}\nabla^2 g(x, y, z) &= \frac{\partial^2}{\partial x^2}(e^{xyz}) + \frac{\partial^2}{\partial y^2}(e^{xyz}) + \frac{\partial^2}{\partial z^2}(e^{xyz}) = \\ &= \frac{\partial}{\partial x}(yze^{xyz}) + \frac{\partial}{\partial y}(xze^{xyz}) + \frac{\partial}{\partial z}(xye^{xyz}) = \\ &= (y^2 z^2 + x^2 z^2 + x^2 y^2)e^{xyz}\end{aligned}$$

Laplaciano de um campo vectorial, $\nabla^2 \vec{f}$

- Considerando o campo vectorial

$$\vec{f}(x, y, z) = f_1(x, y, z)\vec{i} + f_2(x, y, z)\vec{j} + f_3(x, y, z)\vec{k}$$

o campo vectorial dado por

$$\nabla^2 \vec{f}(x, y, z) = \left(\nabla^2 f_1(x, y, z)\right)\vec{i} + \left(\nabla^2 f_2(x, y, z)\right)\vec{j} + \left(\nabla^2 f_3(x, y, z)\right)\vec{k}$$

designa o laplaciano de $\vec{f}(x, y, z)$ no ponto (x, y, z) .

Exemplo 16: Seja o campo vectorial $\vec{v}(x,y,z)$ definido em (10). Recorrendo a (11) e (15), obtém-se:

$$\frac{\partial^2 v_1}{\partial x^2} = -\frac{3\alpha xy^2}{(x^2 + y^2)^{5/2}}, \quad \frac{\partial^2 v_1}{\partial y^2} = -\frac{\alpha x}{(x^2 + y^2)^{3/2}} + \frac{3\alpha xy^2}{(x^2 + y^2)^{5/2}}$$

$$\frac{\partial^2 v_1}{\partial x^2} + \frac{\partial^2 v_1}{\partial y^2} = -\frac{\alpha x}{(x^2 + y^2)^{3/2}}$$

$$\frac{\partial^2 v_2}{\partial x^2} = -\frac{\alpha y}{(x^2 + y^2)^{3/2}} + \frac{3\alpha x^2 y}{(x^2 + y^2)^{5/2}}, \quad \frac{\partial^2 v_2}{\partial y^2} = -\frac{3\alpha x^2 y}{(x^2 + y^2)^{5/2}}$$

$$\frac{\partial^2 v_2}{\partial x^2} + \frac{\partial^2 v_2}{\partial y^2} = -\frac{\alpha y}{(x^2 + y^2)^{3/2}}$$

Então, o laplaciano de $\vec{v}(x,y,z)$ é:

$$\nabla^2 \vec{v}(x,y,z) = -\frac{\alpha x}{(x^2 + y^2)^{3/2}} \vec{i} - \frac{\alpha y}{(x^2 + y^2)^{3/2}} \vec{j} \quad (19)$$

Exemplo 17: Seja o campo vectorial $\vec{v}(x,y,z)$ definido em (13). Recorrendo a (14) e (16), obtém-se:

$$\frac{\partial^2 v_1}{\partial x^2} = \frac{\alpha y}{(x^2 + y^2)^{3/2}} - \frac{3\alpha x^2 y}{(x^2 + y^2)^{5/2}}$$

$$\frac{\partial^2 v_1}{\partial y^2} = \frac{3\alpha y}{(x^2 + y^2)^{3/2}} - \frac{3\alpha y^3}{(x^2 + y^2)^{5/2}}$$

$$\frac{\partial^2 v_1}{\partial x^2} + \frac{\partial^2 v_1}{\partial y^2} = \frac{\alpha y}{(x^2 + y^2)^{3/2}}$$

Por outro lado, tendo em atenção (14) e (17), resulta:

$$\frac{\partial^2 v_2}{\partial x^2} = -\frac{3\alpha x}{(x^2 + y^2)^{3/2}} + \frac{3\alpha x^3}{(x^2 + y^2)^{5/2}}$$

$$\frac{\partial^2 v_2}{\partial y^2} = -\frac{\alpha x}{(x^2 + y^2)^{3/2}} + \frac{3\alpha xy^2}{(x^2 + y^2)^{5/2}}$$

$$\frac{\partial^2 v_2}{\partial x^2} + \frac{\partial^2 v_2}{\partial y^2} = -\frac{\alpha x}{(x^2 + y^2)^{3/2}}$$

Então, o laplaciano de $\vec{v}(x, y, z)$ é:

$$\nabla^2 \vec{v}(x, y, z) = \frac{\alpha y}{(x^2 + y^2)^{3/2}} \vec{i} - \frac{\alpha x}{(x^2 + y^2)^{3/2}} \vec{j} \quad (20)$$

- A propriedade apresentada no teorema seguinte relaciona os operadores divergência, rotacional e laplaciano de um campo vectorial.

Teorema 6: Se $\vec{v}(x, y, z)$ é um campo vectorial, então:

$$\nabla \times (\nabla \times \vec{v}) = \nabla(\nabla \cdot \vec{v}) - \nabla^2 \vec{v} \quad (21)$$

Exemplo 18: Uma vez que o campo vectorial $\vec{v}(x,y,z)$ dos exemplos 9 e 12 é *irrotacional*, então o seu laplaciano pode ser obtido, recorrendo a (21), através da relação:

$$\nabla^2 \vec{v} = \nabla(\nabla \cdot \vec{v})$$

Recorrendo a (12), obtém-se

$$\begin{aligned} \nabla^2 \vec{v} &= \nabla(\nabla \cdot \vec{v}) = \nabla \left(\frac{\alpha}{\sqrt{x^2 + y^2}} \right) = \frac{\partial}{\partial x} \left(\frac{\alpha}{\sqrt{x^2 + y^2}} \right) \vec{i} + \frac{\partial}{\partial y} \left(\frac{\alpha}{\sqrt{x^2 + y^2}} \right) \vec{j} = \\ &= -\frac{\alpha x}{(x^2 + y^2)^{3/2}} \vec{i} - \frac{\alpha y}{(x^2 + y^2)^{3/2}} \vec{j} \end{aligned}$$

confirmando-se o resultado encontrado em (19).

Exemplo 19: Uma vez que o campo vectorial $\vec{v}(x,y,z)$ do exemplo 10 é *solenoidal*, então o seu laplaciano pode ser obtido, recorrendo a (21), através da relação:

$$\nabla^2 \vec{v} = -\nabla \times (\nabla \times \vec{v})$$

Recorrendo a (18), obtém-se

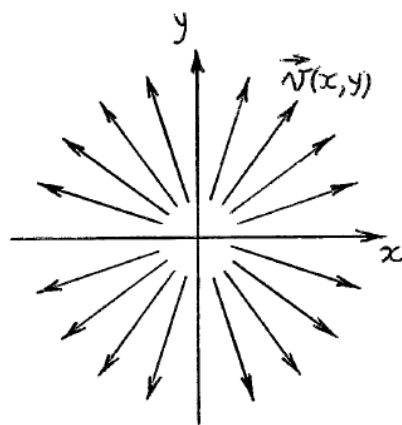
$$\begin{aligned} \nabla^2 \vec{v} &= -\nabla \times (\nabla \times \vec{v}) = -\alpha \begin{vmatrix} \vec{i} & \vec{j} & \vec{k} \\ \frac{\partial}{\partial x} & \frac{\partial}{\partial y} & \frac{\partial}{\partial z} \\ 0 & 0 & (x^2 + y^2)^{-1/2} \end{vmatrix} = \\ &= \frac{\alpha y}{(x^2 + y^2)^{3/2}} \vec{i} - \frac{\alpha x}{(x^2 + y^2)^{3/2}} \vec{j} \end{aligned}$$

confirmando-se o resultado encontrado em (20).

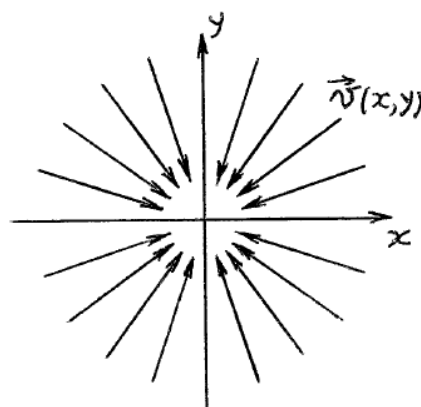
Interpretação da divergência

- Considere-se uma sala fechada sujeita a um processo de aquecimento/arrefecimento, em que o campo vectorial $\vec{v}(x,y,z)$ define, em cada ponto (x,y,z) da sala, a velocidade do ar que se encontra em movimento.

Se, numa determinada região, o ar é aquecido, então ele estará sujeito a um fenómeno de expansão em todas as direcções; nesta situação a *divergência* do campo de velocidades é *positiva*. Fixando um pequeno elemento de volume em torno de um ponto, P , nessa região, verifica-se que haverá uma maior quantidade de ar a sair do que a entrar nesse elemento de volume; neste caso, o ponto P é designado por “*fonte*”.



$$\nabla \vec{v}(x,y) > 0 \text{ (fonte)}$$



$$\nabla \vec{v}(x,y) < 0 \text{ (sumidouro)}$$

Por outro lado, se o ar for arrefecido, verificar-se-á uma contracção e a *divergência* do campo de velocidades será *negativa*. No elemento de volume referido haverá, agora, uma maior quantidade de ar a entrar do que a sair e o ponto P é designado por “*sumidouro*”.

Se a *divergência* do campo de velocidades for *nula* não se verifica nem a acumulação, nem a dispersão do fluido em qualquer ponto do escoamento; neste caso, diz-se que o escoamento é *solenoidal*.

Exemplo 20: O campo de velocidades expresso em (9), cuja divergência é definida por

$$\nabla \cdot \vec{v}(x, y, z) = 3\alpha$$

diz respeito a uma *fonte*, se $\alpha > 0$, e a um *sumidouro*, se $\alpha < 0$.

Exemplo 21: O campo de velocidades expresso em (10), cuja divergência é definida por

$$\nabla \cdot \vec{v}(x, y, z) = \frac{\alpha}{\sqrt{x^2 + y^2}}$$

diz respeito a uma *fonte*, se $\alpha > 0$, e a um *sumidouro*, se $\alpha < 0$.

Exemplo 22: O campo de velocidades definido em (13), cuja divergência é

$$\nabla \cdot \vec{v}(x, y, z) = 0$$

diz respeito a um escoamento *solenoidal*.

Interpretação do rotacional

- É, ainda, possível dar uma interpretação para o rotacional de um campo vectorial no âmbito da mecânica dos fluidos. Assim, se o campo vectorial $\vec{v}(x, y, z)$ representar o campo de velocidades de um fluido, o seu rotacional num dado ponto P caracteriza a tendência do fluido poder girar sobre si próprio em torno de P . Nos dois exemplos seguintes apresentam-se dois casos particulares de dois escoamentos bidimensionais designados por *vórtices*, isto é, escoamentos em que a componente radial da velocidade é nula; nestes casos, o fluido circula ao longo de linhas de escoamento que são circunferências concêntricas.

Exemplo 23: Admita-se que o campo vectorial

$$\vec{v}(x, y) = -\omega y\vec{i} + \omega x\vec{j}, \quad \omega > 0 \quad (22)$$

define o campo de velocidades de um escoamento bidimensional.

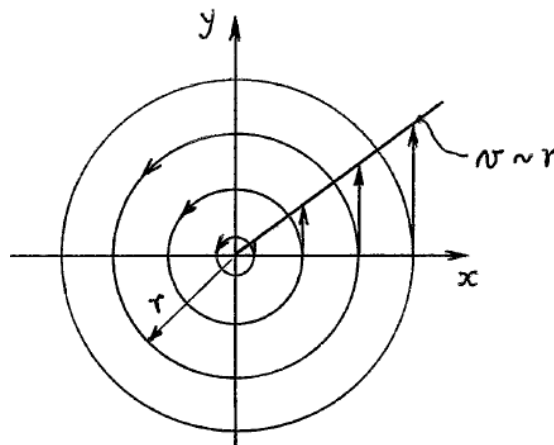
Pode-se verificar que, em cada ponto do escoamento, o vector velocidade é ortogonal ao vector de posição

$$\vec{v} \cdot \vec{r} = (-\omega y\vec{i} + \omega x\vec{j}) \cdot (x\vec{i} + y\vec{j}) = 0$$

e a sua intensidade

$$\|\vec{v}(x, y)\| = \omega\sqrt{x^2 + y^2} = \omega r$$

é directamente proporcional à distância, r , do ponto à origem.



rotação sólida (vórtice forçado)

Dado que a componente radial do campo de velocidades é nula, então a divergência é nula (o escoamento é *solenoidal*)

$$\nabla \cdot \vec{v}(x, y) = \frac{\partial v_1}{\partial x} + \frac{\partial v_2}{\partial y} = -\omega \frac{\partial y}{\partial x} + \omega \frac{\partial x}{\partial y} = 0$$

sendo o seu rotacional dado por

$$\nabla \times \vec{v}(x, y) = \omega \begin{vmatrix} \vec{i} & \vec{j} & \vec{k} \\ \frac{\partial}{\partial x} & \frac{\partial}{\partial y} & \frac{\partial}{\partial z} \\ -y & x & 0 \end{vmatrix} = 2\omega \vec{k}$$

ou seja, é duas vezes o vector velocidade angular, $\vec{\omega} = \omega \vec{k}$.

O campo de velocidades (22) define um escoamento onde o meio não sofre qualquer deformação, sendo designado por *rotação sólida*, ou *vórtice forçado*.

Para exemplificar este tipo de escoamento, considere-se um recipiente cilíndrico com água que é colocado lentamente em rotação em torno do seu eixo até se atingir uma velocidade angular constante ω . A viscosidade inerente ao fluido conduzirá a uma situação em que este se moverá em círculos concêntricos. Após um período transitório, espera-se que o fluido se mova apenas com velocidade na direcção tangencial (escoamento *solenoidal*) e sem qualquer variação na direcção vertical. Nestas condições o fluido desloca-se como se fosse um corpo sólido.

Exemplo 24: Considere-se, agora, o campo vectorial

$$\vec{v}(x,y) = -\frac{y}{x^2 + y^2} \vec{i} + \frac{x}{x^2 + y^2} \vec{j}, \quad (x,y) \neq (0,0) \quad (23)$$

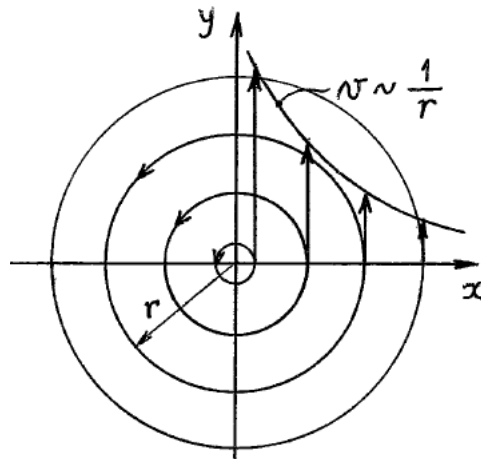
que define um campo de velocidades de um escoamento bidimensional. Em cada ponto do escoamento o vector velocidade é ortogonal ao vector de posição

$$\vec{v} \cdot \vec{r} = \left(-\frac{y}{x^2 + y^2} \vec{i} + \frac{x}{x^2 + y^2} \vec{j} \right) \cdot (x\vec{i} + y\vec{j}) = 0$$

sendo a sua intensidade

$$\|\vec{v}(x,y)\| = \frac{1}{\sqrt{x^2 + y^2}} = \frac{1}{r}$$

inversamente proporcional à distância, r , do ponto à origem.



Vórtice irrotacional (vórtice livre)

Uma vez que o escoamento é *solenoidal* (a componente radial do campo de velocidades é nula), a divergência é nula:

$$\nabla \cdot \vec{v}(x, y) = \frac{\partial v_1}{\partial x} + \frac{\partial v_2}{\partial y} = \frac{2xy}{(x^2 + y^2)^2} - \frac{2xy}{(x^2 + y^2)^2} = 0$$

Por outro lado, sabendo que

$$\frac{\partial v_1}{\partial y} = -\frac{1}{x^2 + y^2} + \frac{2y^2}{(x^2 + y^2)^2}$$

$$\frac{\partial v_2}{\partial x} = \frac{1}{x^2 + y^2} - \frac{2x^2}{(x^2 + y^2)^2}$$

obtem-se para o rotacional

$$\nabla \times \vec{v}(x, y) = \omega \begin{vmatrix} \vec{i} & \vec{j} & \vec{k} \\ \frac{\partial}{\partial x} & \frac{\partial}{\partial y} & \frac{\partial}{\partial z} \\ v_1 & v_2 & 0 \end{vmatrix} = \left(\frac{\partial v_2}{\partial x} - \frac{\partial v_1}{\partial y} \right) \vec{k} = \vec{0}$$

ou seja, o escoamento é *irrotacional*.

O campo de velocidades (23) define um escoamento que é designado por *vórtice irrotacional*, ou *vórtice livre*.

Este modelo de escoamento, também conhecido por *modelo furacão*, pode ser observado no processo de escoamento da água de uma banheira, quando a água se aproxima do ralo.

Teorema de Gauss (da divergência)

- Seja Ω uma região de Jordan limitada por uma curva de Jordan suave por secções, C , e sejam $P(x,y)$ e $Q(x,y)$ campos escalares continuamente diferenciáveis num conjunto aberto que contém Ω . Como se viu anteriormente, o teorema de Green permite exprimir o integral de linha de um campo vectorial ao longo da curva C , através de um integral duplo sobre a região Ω , isto é,

$$\iint_{\Omega} \left[\frac{\partial Q}{\partial x}(x,y) - \frac{\partial P}{\partial y}(x,y) \right] dx dy = \oint_C P(x,y) dx + Q(x,y) dy \quad (24)$$

onde o integral à direita é o integral de linha ao longo de C , percorrida no sentido directo.

- É possível mostrar que a expressão (24) pode ser reescrita, em termos vectoriais, sob a forma

$$\iint_{\Omega} (\nabla \cdot \vec{v}) dx dy = \oint_C (\vec{v} \cdot \vec{n}) ds \quad (25)$$

onde o integral à direita está definido em relação ao comprimento de arco, sendo \vec{n} o versor normal à tangente em cada ponto da curva C , dirigido para o exterior da região Ω .

Admita-se que a curva C é parametrizada através da função vectorial

$$\vec{r}(t) = x(t)\vec{i} + y(t)\vec{j}, \quad t \in I$$

e seja o campo vectorial:

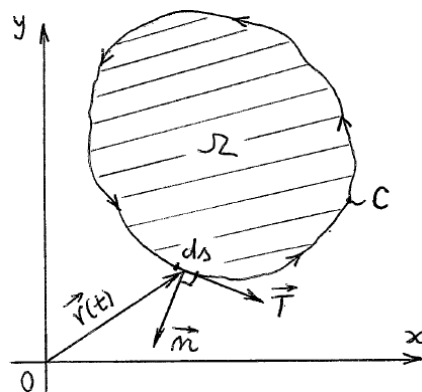
$$\vec{v}(x,y) = Q(x,y)\vec{i} - P(x,y)\vec{j}$$

Tem-se, então,

$$\iint_{\Omega} (\nabla \cdot \vec{v}) dx dy = \iint_{\Omega} \left[\frac{\partial Q}{\partial x}(x, y) - \frac{\partial P}{\partial y}(x, y) \right] dx dy$$

restando, agora, mostrar que:

$$\oint_C (\vec{v} \cdot \vec{n}) ds = \oint_C P(x, y) dx + Q(x, y) dy$$



Dado que a curva C é percorrida no sentido directo, então

$$\vec{n} = \vec{T} \times \vec{k}$$

em que $\vec{T}(t)$ é o versor da tangente à curva em cada um dos seus pontos.

Recorrendo às propriedades do produto vectorial e do produto misto, verifica-se:

$$\vec{v} \cdot \vec{n} = \vec{v} \cdot (\vec{T} \times \vec{k}) = \vec{k} \cdot (\vec{v} \times \vec{T}) = \vec{T} \cdot (\vec{k} \times \vec{v}) = -\vec{T} \cdot (\vec{v} \times \vec{k}) = (-\vec{v} \times \vec{k}) \cdot \vec{T}$$

Notando, ainda, que

$$-\vec{v} \times \vec{k} = (-Q\vec{i} + P\vec{j}) \times \vec{k} = -Q(\vec{i} \times \vec{k}) + P(\vec{j} \times \vec{k}) = P\vec{i} + Q\vec{j}$$

resulta:

$$\vec{v} \cdot \vec{n} = (P\vec{i} + Q\vec{j}) \cdot \vec{T}$$

Finalmente, tendo em conta que

$$d\vec{r} = \vec{T}ds = (dx)\vec{i} + (dy)\vec{j}$$

obtém-se:

$$\oint_C (\vec{v} \cdot \vec{n})ds = \oint_C (P\vec{i} + Q\vec{j}) \cdot \vec{T}ds = \oint_C (P\vec{i} + Q\vec{j}) \cdot d\vec{r} = \oint_C Pdx + Qdy$$

- É, ainda, possível relacionar o teorema de Green com o conceito de fluxo de um campo vectorial, quando aplicado ao espaço bidimensional.

Assim, considere-se, neste caso, o campo vectorial

$$\vec{v}(x, y) = P(x, y)\vec{i} + Q(x, y)\vec{j} \quad (26)$$

tal que:

$$\nabla \cdot \vec{v} = \frac{\partial P}{\partial x}(x, y) + \frac{\partial Q}{\partial y}(x, y)$$

Atendendo a (24), obtém-se

$$\begin{aligned} \iint_{\Omega} (\nabla \cdot \vec{v})dxdy &= \iint_{\Omega} \left[\frac{\partial P}{\partial x}(x, y) + \frac{\partial Q}{\partial y}(x, y) \right]dxdy = \\ &= \oint_C -Q(x, y)dx + P(x, y)dy = \oint_C (\vec{v} \cdot \vec{n})ds = \oint_C \vec{v} \cdot d\vec{s} \end{aligned} \quad (27)$$

já que:

$$d\vec{s} = \vec{n}ds = (dy)\vec{i} - (dx)\vec{j}$$

A expressão (27) traduz o *fluxo do campo vectorial* $\vec{v}(x, y)$, definido em (26), *através da curva C na direcção de* \vec{n} .

- O teorema seguinte, designado por *teorema de Gauss*, ou *teorema da divergência*, constitui uma generalização do teorema de Green, referido em (25), para o espaço tridimensional.

Teorema 7: Seja T um sólido limitado por uma superfície, S , *fechada e orientada* e seja $\vec{n}(x,y,z)$ a função que define, em cada ponto de S , o versor normal à superfície, dirigido para o exterior de S . Se $\vec{v}(x,y,z)$ é um campo vectorial com derivadas parciais contínuas em S , então:

$$\iiint_T (\nabla \cdot \vec{v}) dx dy dz = \oiint_S (\vec{v} \cdot \vec{n}) dS = \oiint_S \vec{v} \cdot d\vec{S} \quad (28)$$

- A expressão (28) estabelece que o *fluxo do campo vectorial* $\vec{v}(x,y,z)$ *através da superfície* (fechada e orientada) S , *dirigido para o exterior de* S , tem o valor do integral triplo da função escalar definida pela *divergência de* $\vec{v}(x,y,z)$ sobre o sólido, T , limitado por S .

Exemplo 25: Resolva o problema do exemplo 4 recorrendo ao teorema de Gauss (da divergência).

Solução:

Neste caso a superfície esférica

$$S : x^2 + y^2 + z^2 = a^2 \quad (a > 0)$$

é uma superfície fechada e orientada que limita o sólido (esfera):

$$T = \{(x,y,z) : 0 \leq x^2 + y^2 + z^2 \leq a^2\}$$

Dado que se pretende calcular o fluxo do campo vectorial

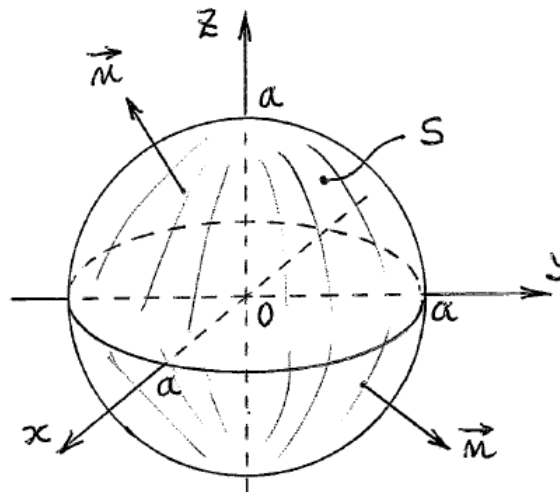
$$\vec{v}(x,y,z) = x\vec{i} + y\vec{j} + xz\vec{k}$$

através da superfície S , dirigido para o exterior de S , o teorema de Gauss permite escrever

$$\oiint_S (\vec{v} \cdot \vec{n}) dS = \iiint_T (\nabla \cdot \vec{v}) dx dy dz$$

em que:

$$\nabla \cdot \vec{v}(x, y, z) = \frac{\partial(x)}{\partial x} + \frac{\partial(y)}{\partial y} + \frac{\partial(xz)}{\partial z} = 2 + x$$



Obtém-se, então,

$$\oiint_S (\vec{v} \cdot \vec{n}) dS = 2 \iiint_T dx dy dz + \iiint_T (x) dx dy dz = 2V(T) + \bar{x}V(T) = \frac{8}{3}\pi a^3$$

onde $\bar{x} = 0$ é a abcissa do centroide do sólido (esfera) T e

$$V(T) = \frac{4}{3}\pi a^3$$

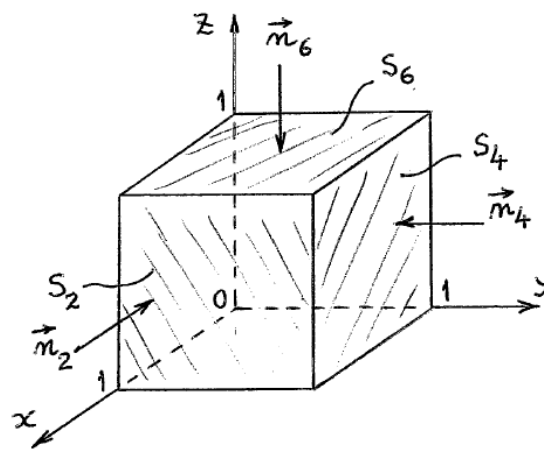
é o seu volume.

Exemplo 26: Resolva o problema do exemplo 6 recorrendo ao teorema de Gauss (da divergência).

Solução:

Neste caso, a superfície (fechada e orientada) S corresponde à superfície que limita o sólido T (cubo):

$$T = \{(x, y, z) : 0 \leq x \leq 1, 0 \leq y \leq 1, 0 \leq z \leq 1\}$$



Dado que se pretende calcular o fluxo do campo vectorial

$$\vec{v}(x, y, z) = xy\vec{i} + 2yz^2\vec{j} + yz\vec{k}$$

através da superfície S , dirigido para o interior de S , o teorema de Gauss permite escrever

$$\oiint_S (\vec{v} \cdot \vec{n}) dS = - \iiint_T (\nabla \cdot \vec{v}) dx dy dz$$

em que:

$$\nabla \cdot \vec{v}(x, y, z) = \frac{\partial(xy)}{\partial x} + \frac{\partial(2yz^2)}{\partial y} + \frac{\partial(yz)}{\partial z} = 2y + 2z^2$$

Assim, obtém-se

$$\begin{aligned}
\oiint_S (\vec{v} \cdot \vec{n}) dS &= -2 \iiint_T (y) dx dy dz - 2 \iiint_T (z^2) dx dy dz = \\
&= -2 \bar{y} V(T) - 2 \int_0^1 \int_0^1 \int_0^1 (z^2) dx dy dz = -1 - \frac{2}{3} = -\frac{5}{3}
\end{aligned}$$

onde $\bar{y} = 1/2$ é a ordenada do centroide do sólido (cubo) T e $V(T) = 1$ é o seu volume.

Exemplo 27: Calcule o fluxo do campo vectorial

$$\vec{v}(x, y, z) = xy^2 \vec{i} + x^2 y \vec{j} + z \vec{k}$$

dirigido de fora para dentro da superfície fechada, S , definida por: $(x+1)^2 + y^2 = 1$, $z = 0$ e $z = 2$.

- a) Recorrendo ao teorema de Gauss (da divergência).
- b) Considerando a definição de integral de fluxo.

Solução:

- a) A superfície fechada, S , constitui a superfície que limita o sólido T (cilindro):

$$T = \{(x, y, z) : 0 \leq (x+1)^2 + y^2 \leq 1, 0 \leq z \leq 2\}$$

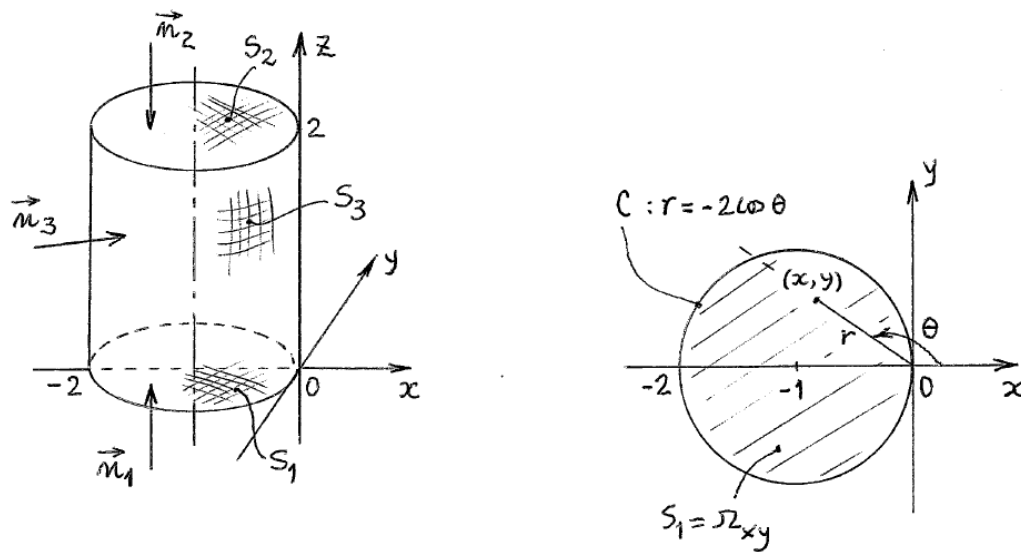
Tendo em atenção que

$$\nabla \cdot \vec{v}(x, y, z) = \frac{\partial(xy^2)}{\partial x} + \frac{\partial(x^2 y)}{\partial y} + \frac{\partial(z)}{\partial z} = 1 + x^2 + y^2$$

e dado que o fluxo do campo vectorial $\vec{v}(x, y, z)$ é dirigido para o interior de S , da aplicação do teorema de Gauss resulta

$$\begin{aligned}
\oiint_S (\vec{v} \cdot \vec{n}) dS &= -\iiint_T (\nabla \cdot \vec{v}) dx dy dz = -\iiint_T (1 + x^2 + y^2) dx dy dz = \\
&= -V(T) - \iiint_T (x^2 + y^2) dx dy dz = -2\pi - \iiint_T (x^2 + y^2) dx dy dz \quad (29)
\end{aligned}$$

onde $V(T) = 2\pi$ é o volume do sólido T e o restante integral triplo deverá ser calculado recorrendo a coordenadas cilíndricas.



Nesse sentido, a projecção de T sobre o plano xOy é a região circular, Ω_{xy} , definida por

$$\Omega_{xy} = \{(x, y) : 0 \leq (x+1)^2 + y^2 \leq 1\}$$

e pode ser reescrita, no referencial $rO\theta$ (coordenadas polares), como:

$$\Gamma = \{(r, \theta) : \pi/2 \leq \theta \leq 3\pi/2, 0 \leq r \leq -2\cos(\theta)\}$$

Assim, o sólido T pode ser descrito, em coordenadas cilíndricas, pela região:

$$\Pi = \{(r, \theta, z) : \pi/2 \leq \theta \leq 3\pi/2, 0 \leq r \leq -2\cos(\theta), 0 \leq z \leq 2\}$$

O integral de fluxo apresentado em (29) toma, então, a forma:

$$\begin{aligned}
 \oiint_S (\vec{v} \cdot \vec{n}) dS &= -2\pi - \iiint_T (x^2 + y^2) dx dy dz = -2\pi - \iiint_{\Pi} (r^3) dr d\theta dz = \\
 &= -2\pi - \int_0^2 \int_{\pi/2}^{3\pi/2} \int_0^{-2\cos(\theta)} (r^3) dr d\theta dz = \\
 &= -2\pi - \frac{1}{4} \int_0^2 \int_{\pi/2}^{3\pi/2} \left[r^4 \right]_0^{-2\cos(\theta)} d\theta dz = \\
 &= -2\pi - 4 \int_0^2 \int_{\pi/2}^{3\pi/2} \cos^4(\theta) d\theta dz \quad (30)
 \end{aligned}$$

Particularizando, aplicando um processo de integração por partes, resulta:

$$\begin{aligned}
 4 \int_{\pi/2}^{3\pi/2} \cos^4(\theta) d\theta &= 4 \int_{\pi/2}^{3\pi/2} \cos(\theta) \cos^3(\theta) d\theta = \\
 &= \left[\sin(\theta) \cos^3(\theta) \right]_{\pi/2}^{3\pi/2} + 3 \int_{\pi/2}^{3\pi/2} \cos^2(\theta) d\theta = \\
 &= \frac{3}{2} \int_{\pi/2}^{3\pi/2} (1 + \cos(2\theta)) d\theta = \frac{3}{4} [2\theta + \sin(2\theta)]_{\pi/2}^{3\pi/2} = \frac{3\pi}{2} \quad (31)
 \end{aligned}$$

Finalmente, substituindo (31) em (30), obtém-se:

$$\oiint_S (\vec{v} \cdot \vec{n}) dS = -2\pi - \frac{3\pi}{2} \int_0^2 dz = -5\pi$$

- b) O cálculo do fluxo através da definição exige, neste caso, o cálculo do fluxo através de cada uma das três superfícies elementares que limitam o sólido T (ver figura da página 7.43), nomeadamente, as duas regiões circulares, S_1 e S_2 , que correspondem às bases do cilindro e a região cilíndrica, S_3 , que constitui a superfície lateral de T .

Em relação à secção S_1 verifica-se:

$$\vec{v}(x, y, 0) = xy^2\vec{i} + x^2y\vec{j}, \quad \vec{n}_1 = \vec{k} \Rightarrow \vec{v} \cdot \vec{n}_1 = 0$$

$$\iint_{S_1} (\vec{v} \cdot \vec{n}_1) dS = 0 \quad (32)$$

Em relação à secção S_2 tem-se

$$\vec{v}(x, y, 2) = xy^2\vec{i} + x^2y\vec{j} + 2\vec{k}, \quad \vec{n}_2 = -\vec{k} \Rightarrow \vec{v} \cdot \vec{n}_2 = -2$$

$$\iint_{S_2} (\vec{v} \cdot \vec{n}_2) dS = -2 \iint_{S_2} dS = -2A(S_2) = -2\pi \quad (33)$$

onde $A(S_2) = \pi$ é a área da região circular S_2 .

A região cilíndrica S_3 pode ser parametrizada através da função vectorial

$$\vec{r}(\theta, z) = -2\cos^2(\theta)\vec{i} - 2\cos(\theta)\sin(\theta)\vec{j} + z\vec{k}, \quad (\theta, z) \in R$$

em que:

$$R = \{(\theta, z) : \pi/2 \leq \theta \leq 3\pi/2, 0 \leq z \leq 2\}$$

O produto vectorial fundamental é

$$\vec{N}(\theta, z) = \frac{\partial \vec{r}}{\partial \theta} \times \frac{\partial \vec{r}}{\partial z} = 2 \begin{vmatrix} \vec{i} & \vec{j} & \vec{k} \\ 2\sin(\theta)\cos(\theta) & \sin^2(\theta) - \cos^2(\theta) & 0 \\ 0 & 0 & 1 \end{vmatrix} =$$

$$= 2(\sin^2(\theta) - \cos^2(\theta))\vec{i} - 4\sin(\theta)\cos(\theta)\vec{j}$$

e está orientado no sentido *de dentro para fora* da superfície S_3 , isto é, tem o sentido oposto ao que é considerado para o versor normal à superfície, \vec{n}_3 ; note-se que, por exemplo, se $\pi/2 < \theta < \pi$, então $-4\sin(\theta)\cos(\theta) > 0$.

Nestas condições, uma vez que

$$\vec{v}[\vec{r}(\theta, z)] = -8\cos^4(\theta)\sin^2(\theta)\vec{i} - 8\cos^5(\theta)\sin(\theta)\vec{j} + z\vec{k}$$

$$\begin{aligned}\vec{v}[\vec{r}(\theta, z)] \cdot \vec{N}(\theta, z) &= -16\cos^4(\theta)\sin^4(\theta) + 48\cos^6(\theta)\sin^2(\theta) = \\ &= -16\cos^4(\theta)(1 - \cos^2(\theta))^2 + 48\cos^6(\theta)(1 - \cos^2(\theta)) = \\ &= -16\cos^4(\theta) + 80\cos^6(\theta) - 64\cos^8(\theta)\end{aligned}$$

resulta:

$$\begin{aligned}\iint_{S_3} (\vec{v} \cdot \vec{n}_3) dS &= -\iint_R \vec{v}[\vec{r}(\theta, z)] \cdot \vec{N}(\theta, z) d\theta dz = \\ &= 16 \int_0^2 \int_{\pi/2}^{3\pi/2} (\cos^4(\theta) - 5\cos^6(\theta) + 4\cos^8(\theta)) d\theta dz \quad (34)\end{aligned}$$

Aplicando um processo de integração por partes e atendendo a (31), tem-se:

$$\begin{aligned}\int_{\pi/2}^{3\pi/2} \cos^6(\theta) d\theta &= \int_{\pi/2}^{3\pi/2} \cos(\theta) \cos^5(\theta) d\theta = \\ &= \frac{1}{6} \left[\sin(\theta) \cos^5(\theta) \right]_{\pi/2}^{3\pi/2} + \frac{5}{6} \int_{\pi/2}^{3\pi/2} \cos^4(\theta) d\theta = \frac{5\pi}{16} \quad (35)\end{aligned}$$

Por outro lado, aplicando novamente um processo de integração por partes e atendendo a (35), obtém-se:

$$\begin{aligned}\int_{\pi/2}^{3\pi/2} \cos^8(\theta) d\theta &= \int_{\pi/2}^{3\pi/2} \cos(\theta) \cos^7(\theta) d\theta = \\ &= \frac{1}{8} \left[\sin(\theta) \cos^7(\theta) \right]_{\pi/2}^{3\pi/2} + \frac{7}{8} \int_{\pi/2}^{3\pi/2} \cos^6(\theta) d\theta = \frac{35\pi}{128} \quad (36)\end{aligned}$$

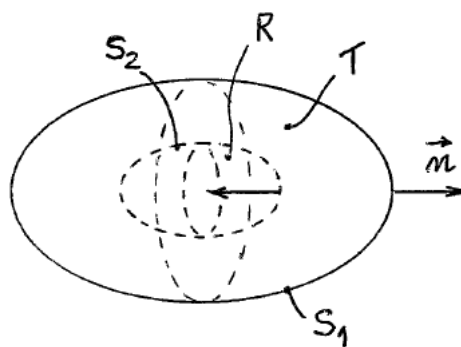
Substituindo em (34) os valores obtidos em (31), (35) e (36), conclui-se que o fluxo através da superfície S_3 é:

$$\iint_{S_3} (\vec{v} \cdot \vec{n}_3) dS = 16 \left(\frac{3\pi}{8} - \frac{25\pi}{16} + \frac{35\pi}{32} \right) \int_0^2 dz = -3\pi \quad (37)$$

Finalmente, tendo em atenção (32), (33) e (37), o fluxo do campo vectorial $\vec{v}(x,y,z)$, dirigido *de fora para dentro* da superfície fechada S , tem o valor:

$$\oiint_S (\vec{v} \cdot \vec{n}) dS = \sum_{i=1}^3 \iint_{S_i} (\vec{v} \cdot \vec{n}_i) dS = 0 - 2\pi - 3\pi = -5\pi$$

- O teorema da divergência apresentado em (28), definido para sólidos limitados por uma única superfície fechada e orientada, pode ser generalizado a sólidos limitados por várias superfícies fechadas e orientadas.



Considere-se, por exemplo, um sólido limitado por uma *superfície fechada e orientada* S_1 e extraia-se do seu interior um sólido, R , limitado por uma *superfície fechada e orientada* S_2 .

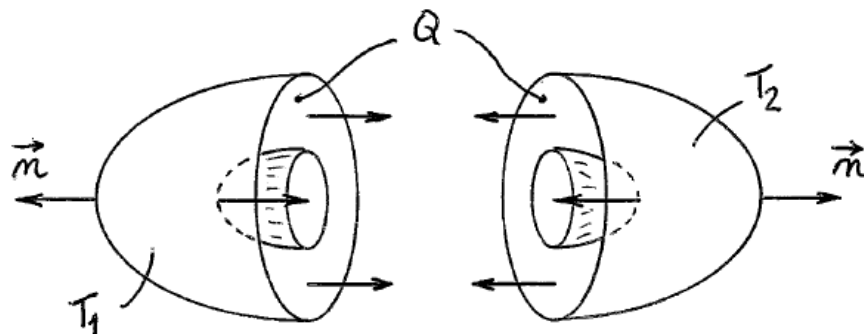
A fronteira, S , do sólido restante, T , é formada por duas regiões, nomeadamente, a região exterior S_1 e a região interior S_2 .

O teorema da divergência pode ser estabelecido para o sólido T , dividindo-o em duas partes, T_1 e T_2 , e aplicando o teorema da divergência a cada uma delas, isto é,

$$\iiint_{T_1} (\nabla \cdot \vec{v}) dx dy dz = \oiint_{S_{T_1}} (\vec{v} \cdot \vec{n}) dS \quad (38)$$

$$\iiint_{T_2} (\nabla \cdot \vec{v}) dx dy dz = \oiint_{S_{T_2}} (\vec{v} \cdot \vec{n}) dS \quad (39)$$

onde S_{T_1} e S_{T_2} designam, respectivamente, as fronteiras de T_1 e T_2 .



Adicionando os dois integrais triplos nos primeiros membros de (38) e (39), obtém-se, tendo em atenção a aditividade do integral triplo, o integral triplo sobre o sólido T , ou seja:

$$\iiint_T (\nabla \cdot \vec{v}) dx dy dz = \sum_{j=1}^2 \iiint_{T_j} (\nabla \cdot \vec{v}) dx dy dz$$

Contudo, quando se somam os dois integrais de superfície, nos segundos membros dessas mesmas equações, as contribuições da secção, Q , que é comum às partes T_1 e T_2 anulam-se (os versores normais apontam em sentidos opostos), restando, portanto, as contribuições relativas aos integrais de superfície sobre as regiões S_1 e S_2 .

Assim, uma vez que $S = S_1 \cup S_2$, resulta

$$\begin{aligned}\iint_S (\vec{v} \cdot \vec{n}) dS &= \iint_{S_1} (\vec{v} \cdot \vec{n}) dS + \iint_{S_2} (\vec{v} \cdot \vec{n}) dS = \\ &= \oiint_{S_{T1}} (\vec{v} \cdot \vec{n}) dS + \oiint_{S_{T2}} (\vec{v} \cdot \vec{n}) dS\end{aligned}$$

podendo concluir-se que o teorema da divergência se mantém válido para o sólido T , pelo que:

$$\iiint_T (\nabla \cdot \vec{v}) dx dy dz = \oiint_S (\vec{v} \cdot \vec{n}) dS$$

Teorema de Stokes

- Seja, novamente, o teorema de Green. Se Ω é uma região de Jordan limitada por uma curva de Jordan suave por secções, C , e $P(x,y)$ e $Q(x,y)$ são campos escalares continuamente diferenciáveis num conjunto aberto que contém Ω , então

$$\iint_{\Omega} \left[\frac{\partial Q}{\partial x}(x,y) - \frac{\partial P}{\partial y}(x,y) \right] dx dy = \oint_C P(x,y) dx + Q(x,y) dy \quad (40)$$

onde o integral à direita é o integral de linha ao longo da curva C , percorrida no sentido directo.

- Considerando, agora, o campo vectorial

$$\vec{v}(x,y,0) = P(x,y,0)\vec{i} + Q(x,y,0)\vec{j} + 0\vec{k} \quad (41)$$

obtém-se para o seu rotacional

$$\nabla \times \vec{v}(x,y,0) = \begin{vmatrix} \vec{i} & \vec{j} & \vec{k} \\ \frac{\partial}{\partial x} & \frac{\partial}{\partial y} & \frac{\partial}{\partial z} \\ P & Q & 0 \end{vmatrix} = 0\vec{i} + 0\vec{j} + \left(\frac{\partial Q}{\partial x} - \frac{\partial P}{\partial y} \right) \vec{k}$$

e, portanto:

$$(\nabla \times \vec{v}(x,y,0)) \cdot \vec{k} = \frac{\partial Q}{\partial x} - \frac{\partial P}{\partial y}$$

A expressão (40) pode, então, ser reescrita, em termos do campo vectorial (41), sob a forma

$$\iint_{\Omega} [(\nabla \times \vec{v}(x, y, 0)) \cdot \vec{k}] dx dy = \oint_C P(x, y) dx + Q(x, y) dy = \oint_C \vec{v}(\vec{r}) \cdot d\vec{r} \quad (42)$$

onde

$$\vec{r}(t) = x(t)\vec{i} + y(t)\vec{j}, \quad t \in I$$

é a função vectorial que parametriza a curva C .

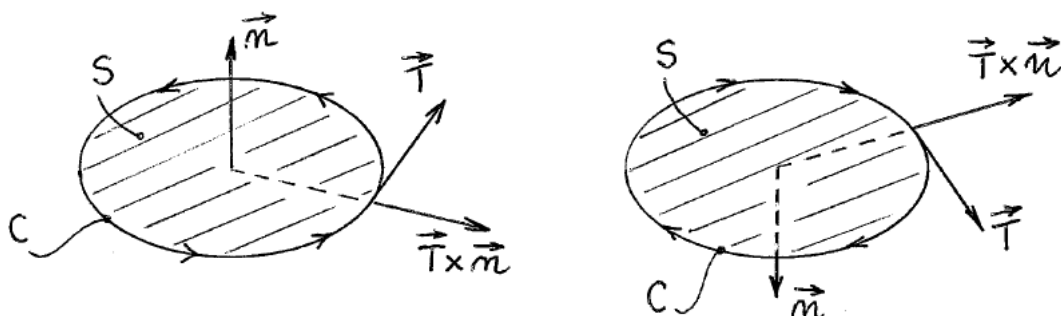
- A propriedade expressa em (42), derivada para uma região de Jordan situada no plano coordenado xOy , pode, ainda, ser aplicada a uma superfície plana do espaço \mathbb{R}^3 .

Seja S uma superfície plana de \mathbb{R}^3 limitada por uma curva de Jordan suave por secções, C . Se $\vec{v}(x, y, z)$ é um campo vectorial continuamente diferenciável num conjunto aberto que contém S , então

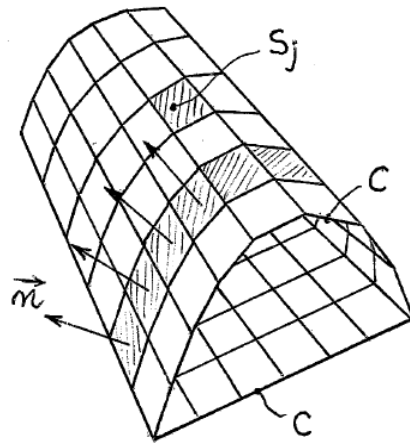
$$\iint_S [(\nabla \times \vec{v}(x, y, z)) \cdot \vec{n}] dS = \oint_C \vec{v}(\vec{r}) \cdot d\vec{r}$$

onde \vec{n} é o versor normal à superfície S e o integral à direita é o integral de linha ao longo de C , percorrido no *sentido positivo em relação a \vec{n}* , isto é, no sentido do versor da tangente, \vec{T} , à curva C , o qual é definido de modo que o versor $\vec{T} \times \vec{n}$ aponte na direcção exterior à superfície S .

Neste caso, diz-se que a curva C é *percorrida no sentido positivo (em relação a \vec{n})*.



- A figura seguinte ilustra uma *superfície poliédrica*, S , limitada, no seu bordo, por uma *linha poligonal fechada*, C . A superfície S é constituída por um número finito de faces planas, S_1, S_2, \dots, S_n , que são, respectivamente, limitadas pelas linhas poligonais C_1, C_2, \dots, C_n , e possuem versores normais $\vec{n}_1, \vec{n}_2, \dots, \vec{n}_n$; admite-se que todos estes versores apontam para o mesmo lado da superfície S .



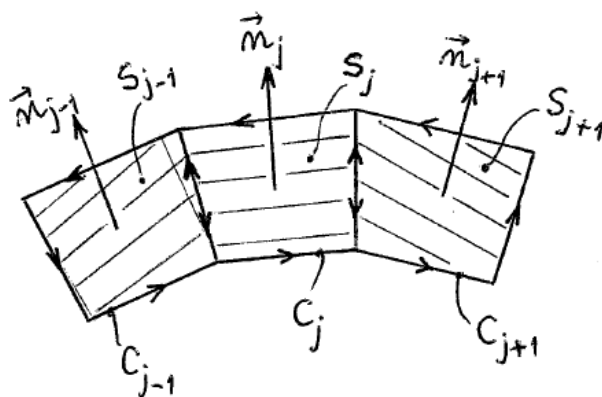
Seja, agora, $\vec{n} = \vec{n}(x, y, z)$ a função que define, em cada ponto de S , o versor normal à superfície e que toma os valores $\vec{n}_1, \vec{n}_2, \dots, \vec{n}_n$ nas faces planas S_1, S_2, \dots, S_n , respectivamente, sendo irrelevante o seu valor em cada um dos segmentos de recta que são comuns a essas mesmas faces.

Assim, se $\vec{v}(x, y, z)$ é um campo vectorial continuamente diferenciável num conjunto aberto que contém S , então

$$\begin{aligned} \iint_{\Omega} [(\nabla \times \vec{v}(x, y, 0)) \cdot \vec{k}] dx dy &= \sum_{j=1}^n \iint_{S_j} [(\nabla \times \vec{v}(x, y, 0)) \cdot \vec{n}_j] dS = \\ &= \sum_{j=1}^n \oint_{C_j} \vec{v}(\vec{r}) \cdot d\vec{r} \end{aligned} \quad (43)$$

em que o integral de linha ao longo da linha poligonal C_j é definido de modo a que esta é percorrida *no sentido positivo* (em relação a \vec{n}_j).

Quando se somam os integrais de linha no segundo membro de (43), verifica-se o anulamento das contribuições, para o integral de linha, dos segmentos de recta que não pertencem à linha poligonal fechada C , já que esses segmentos de recta, sendo comuns a duas faces planas adjacentes, são percorridos duas vezes e em sentidos opostos.



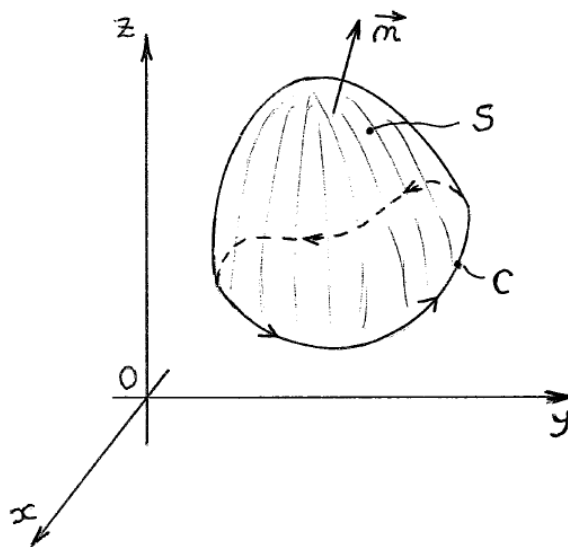
Então, tendo em atenção que

$$\sum_{j=1}^n \oint_{C_j} \vec{v}(\vec{r}) \cdot d\vec{r} = \oint_C \vec{v}(\vec{r}) \cdot d\vec{r}$$

Obtém-se para uma superfície poliédrica, S , limitada por uma linha poligonal fechada, C :

$$\iint_S [(\nabla \times \vec{v}(x, y, z)) \cdot \vec{n}] dS = \oint_C \vec{v}(\vec{r}) \cdot d\vec{r} \quad (44)$$

- A propriedade estabelecida em (44) pode ser generalizada a uma superfície suave e orientada, S , limitada por uma curva suave, C , já que esta superfície pode ser sempre aproximada por uma superfície poliédrica. No limite, quando o número de faces planas, S_j , admitidas na aproximação tender para infinito, a superfície poliédrica tende para a superfície S .



É desta forma informal que é possível justificar a propriedade transcrita no teorema seguinte, que é conhecido por *teorema de Stokes*.

Teorema 8: Seja S uma *superfície regular e orientada* limitada por uma *curva suave*, C . Se $\vec{v}(x,y,z)$ é um campo vectorial continuamente diferenciável num conjunto aberto que contém S , então

$$\iint_S [(\nabla \times \vec{v}(x,y,z)) \cdot \vec{n}] dS = \oint_C \vec{v}(\vec{r}) \cdot d\vec{r}$$

onde \vec{n} é o versor normal a S , que varia continuamente em S , e o integral à direita é o integral de linha ao longo da curva C , *percorrida no sentido positivo (em relação a \vec{n})*.

Exemplo 28: Calcule o fluxo do rotacional do campo vectorial

$$\vec{v}(x, y, z) = xy^2\vec{i} + x^2y\vec{j} - xyz\vec{k}$$

através da superfície parabólica

$$S : z = 1 - (x^2 + y^2), \quad z \geq 0$$

no sentido *de dentro para fora* da superfície:

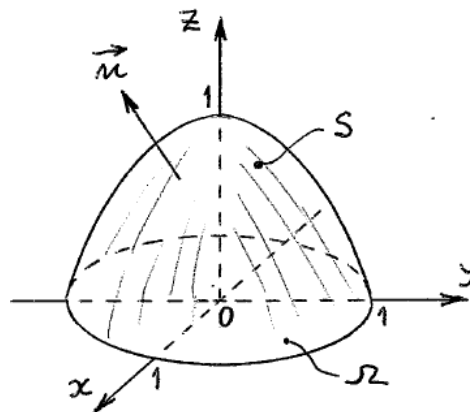
a) Considerando a definição de integral de fluxo.

b) Recorrendo ao teorema de Stokes.

Solução:

a) O rotacional de $\vec{v}(x, y, z)$ é o campo vectorial:

$$\nabla \times \vec{v}(x, y, z) = \begin{vmatrix} \vec{i} & \vec{j} & \vec{k} \\ \frac{\partial}{\partial x} & \frac{\partial}{\partial y} & \frac{\partial}{\partial z} \\ xy^2 & x^2y & -xyz \end{vmatrix} = (-xz)\vec{i} + (yz)\vec{j} + 0\vec{k}$$



A superfície parabólica orientada, S , pode ser parametrizada através da função vectorial

$$\vec{r}(x, y) = x\vec{i} + y\vec{j} + (1 - x^2 - y^2)\vec{k}, \quad (x, y) \in \Omega$$

em que

$$\Omega = \{(x, y) : 0 \leq x^2 + y^2 \leq 1\}$$

e o seu produto vectorial fundamental é dado por:

$$\vec{N}(x, y) = \frac{\partial \vec{r}}{\partial x} \times \frac{\partial \vec{r}}{\partial y} = \begin{vmatrix} \vec{i} & \vec{j} & \vec{k} \\ 1 & 0 & -2x \\ 0 & 1 & -2y \end{vmatrix} = 2x\vec{i} + 2y\vec{j} + \vec{k}$$

Neste caso, o produto vectorial fundamental, $\vec{N}(x, y)$, e o versor normal à superfície, $\vec{n}(x, y)$, estão orientados no mesmo sentido, isto é, no sentido *de dentro para fora* de S .

Assim, atendendo a (7) e sabendo que

$$(\nabla \times \vec{v})[\vec{r}(x, y)] = -x(1 - x^2 - y^2)\vec{i} + y(1 - x^2 - y^2)\vec{j} + 0\vec{k}$$

$$(\nabla \times \vec{v})[\vec{r}(x, y)] \cdot \vec{N}(x, y) = -2(x^2 - y^2) + 2(x^4 - y^4)$$

obtém-se para o fluxo do campo vectorial $\nabla \times \vec{v}$ através de S :

$$\iint_S [(\nabla \times \vec{v}(x, y, z)) \cdot \vec{n}] dS = -2 \iint_{\Omega} ((x^2 - y^2) - (x^4 - y^4)) dx dy \quad (45)$$

Recorrendo a *coordenadas polares*

$$x = r \cos(\theta) \quad , \quad y = r \sin(\theta) \quad , \quad dx dy = r dr d\theta$$

então

$$\begin{aligned} (x^2 - y^2) - (x^4 - y^4) &= r^2 (\cos^2(\theta) - \sin^2(\theta)) + \\ &+ r^4 (\cos^4(\theta) - \sin^4(\theta)) \quad , \quad (r, \theta) \in \Omega_1 \end{aligned}$$

em que:

$$\Omega_1 = \{(r, \theta) : 0 \leq \theta \leq 2\pi, 0 \leq r \leq 1\}$$

Assim, a expressão (45) toma a forma:

$$\begin{aligned} \iint_S [(\nabla \times \vec{v}(x, y, z)) \cdot \vec{n}] dS &= -2 \iint_{\Omega} ((x^2 - y^2) - (x^4 - y^4)) dx dy = \\ &= -2 \int_0^{2\pi} \int_0^1 r^3 (\cos^2(\theta) - \sin^2(\theta)) dr d\theta - \\ &\quad -2 \int_0^{2\pi} \int_0^1 r^5 (\cos^4(\theta) - \sin^4(\theta)) dr d\theta = \\ &= -\frac{1}{2} \int_0^{2\pi} (\cos^2(\theta) - \sin^2(\theta)) d\theta - \\ &\quad -\frac{1}{3} \int_0^{2\pi} (\cos^4(\theta) - \sin^4(\theta)) d\theta \end{aligned} \quad (46)$$

Particularizando, verifica-se:

$$\int_0^{2\pi} \cos^2(\theta) d\theta = \frac{1}{2} \int_0^{2\pi} (1 + \cos(2\theta)) d\theta = \frac{1}{4} [2\theta + \sin(2\theta)]_0^{2\pi} = \pi \quad (47)$$

$$\int_0^{2\pi} \sin^2(\theta) d\theta = \frac{1}{2} \int_0^{2\pi} (1 - \cos(2\theta)) d\theta = \frac{1}{4} [2\theta - \sin(2\theta)]_0^{2\pi} = \pi \quad (48)$$

Por outro lado, recorrendo a processos de integração por partes e atendendo a (47) e (48), resulta:

$$\begin{aligned} \int_0^{2\pi} \cos^4(\theta) d\theta &= \int_0^{2\pi} \cos(\theta) \cos^3(\theta) d\theta = \\ &= \frac{1}{4} [\sin(\theta) \cos^3(\theta)]_0^{2\pi} + \frac{3}{4} \int_0^{2\pi} \cos^2(\theta) d\theta = \frac{3\pi}{4} \end{aligned} \quad (49)$$

$$\begin{aligned}
 \int_0^{2\pi} \sin^4(\theta) d\theta &= \int_0^{2\pi} \sin(\theta) \sin^3(\theta) d\theta = \\
 &= -\frac{1}{4} \left[\cos(\theta) \sin^3(\theta) \right]_0^{2\pi} + \frac{3}{4} \int_0^{2\pi} \sin^2(\theta) d\theta = \frac{3\pi}{4} \quad (50)
 \end{aligned}$$

Finalmente, substituindo (47) a (50) em (46), obtém-se:

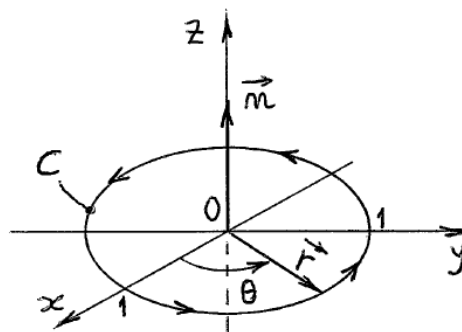
$$\iint_S [(\nabla \times \vec{v}(x, y, z)) \cdot \vec{n}] dS = -\frac{1}{2}(\pi - \pi) - \frac{1}{3} \left(\frac{3\pi}{4} - \frac{3\pi}{4} \right) = 0$$

b) A superfície parabólica

$$S : z = 1 - (x^2 + y^2), \quad z \geq 0$$

é limitada, no seu bordo, pela circunferência de raio um e centrada na origem:

$$C : x^2 + y^2 = 1, \quad z = 0$$



Esta linha pode ser parametrizada através da função vectorial:

$$C : \vec{r}(\theta) = \cos(\theta)\vec{i} + \sin(\theta)\vec{j} + 0\vec{k}, \quad \theta \in [0, 2\pi]$$

Dado que o fluxo é no sentido *de dentro para fora* da superfície S , o versor normal, \vec{n} , está orientado no *sentido do semieixo positivo dos zz* e, portanto, a linha C deverá ser percorrida no *sentido directo*, quando vista de um ponto com cota positiva.

Sabendo que

$$\vec{r}'(\theta) = -\sin(\theta)\vec{i} + \cos(\theta)\vec{j} + 0\vec{k}$$

$$\vec{v}(\vec{r}(\theta)) = \cos(\theta)\sin^2(\theta)\vec{i} + \sin(\theta)\cos^2(\theta)\vec{j} + 0\vec{k}$$

$$\vec{v}(\vec{r}(\theta)) \cdot \vec{r}'(\theta) = -\cos(\theta)\sin^3(\theta) + \sin(\theta)\cos^3(\theta)$$

da aplicação do teorema de Stokes resulta:

$$\begin{aligned} \iint_S [(\nabla \times \vec{v}(x, y, z)) \cdot \vec{n}] dS &= \oint_C \vec{v}(\vec{r}) \cdot d\vec{r} = \\ &= -\int_0^{2\pi} (\cos(\theta)\sin^3(\theta) - \sin(\theta)\cos^3(\theta)) d\theta = \\ &= -\frac{1}{4} [\sin^4(\theta)]_0^{2\pi} - \frac{1}{4} [\cos^4(\theta)]_0^{2\pi} = 0 \end{aligned}$$

Exemplo 29: Calcule o fluxo do rotacional do campo vectorial

$$\vec{v}(x, y, z) = -3y\vec{i} + 3x\vec{j} + z^4\vec{k}$$

através da superfície do elipsoide

$$S : 4x^2 + 4y^2 + z^2 = 1, \quad z \geq \sqrt{2}/2$$

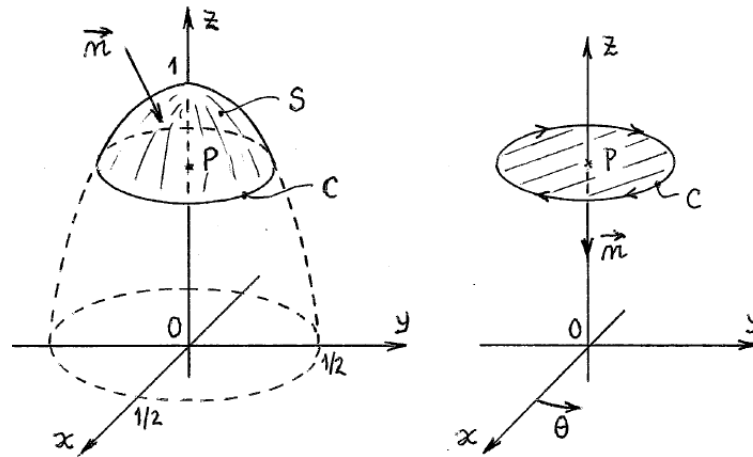
no sentido *de fora para dentro* da superfície:

- Considerando a definição de integral de fluxo.
- Recorrendo ao teorema de Stokes.

Solução:

- O rotacional de $\vec{v}(x, y, z)$ é o campo vectorial:

$$\nabla \times \vec{v}(x, y, z) = \begin{vmatrix} \vec{i} & \vec{j} & \vec{k} \\ \frac{\partial}{\partial x} & \frac{\partial}{\partial y} & \frac{\partial}{\partial z} \\ -3y & 3x & z^4 \end{vmatrix} = 6\vec{k}$$



A superfície elipsoidal orientada, S , pode ser parametrizada através da função vectorial

$$\vec{r}(x, y) = x\vec{i} + y\vec{j} + \sqrt{1 - 4(x^2 + y^2)}\vec{k}, \quad (x, y) \in \Omega$$

em que

$$\Omega = \{(x, y) : 0 \leq x^2 + y^2 \leq 1/8\}$$

e o seu produto vectorial fundamental é dado por:

$$\begin{aligned} \vec{N}(x, y) &= \frac{\partial \vec{r}}{\partial x} \times \frac{\partial \vec{r}}{\partial y} = \begin{vmatrix} \vec{i} & \vec{j} & \vec{k} \\ 1 & 0 & -4x(1 - 4(x^2 + y^2))^{-1/2} \\ 0 & 1 & -4y(1 - 4(x^2 + y^2))^{-1/2} \end{vmatrix} = \\ &= \frac{4x}{\sqrt{1 - 4(x^2 + y^2)}}\vec{i} + \frac{4y}{\sqrt{1 - 4(x^2 + y^2)}}\vec{j} + \vec{k} \end{aligned}$$

Neste caso, o produto vectorial fundamental, $\vec{N}(x,y)$, e o versor normal à superfície, $\vec{n}(x,y)$, estão orientados em sentidos opostos ($\vec{N}(x,y)$ tem coordenada positiva na direcção do eixo dos zz).

Assim, atendendo a (8) e sabendo que

$$(\nabla \times \vec{v})[\vec{r}(x,y)] = 6\vec{k}, \quad (\nabla \times \vec{v})[\vec{r}(x,y)] \cdot \vec{N}(x,y) = 6$$

obtém-se para o fluxo do campo vectorial $\nabla \times \vec{v}$ através de S

$$\iint_S [(\nabla \times \vec{v}(x,y,z)) \cdot \vec{n}] dS = -6 \iint_{\Omega} dx dy = -6A(\Omega) = -\frac{3\pi}{4}$$

onde $A(\Omega) = \pi/8$ é a área da região circular Ω .

b) A superfície do elipsoide

$$S : 4x^2 + 4y^2 + z^2 = 1, \quad z \geq \sqrt{2}/2$$

é limitada, no seu bordo, pela linha

$$C : x^2 + y^2 = 1/8, \quad z = \sqrt{2}/2$$

isto é, pela circunferência de raio $\sqrt{2}/4$ e centrada em $P = (0,0,\sqrt{2}/2)$, que pode ser parametrizada através da função vectorial:

$$C : \vec{r}(\theta) = \frac{\sqrt{2}}{4} \cos(\theta) \vec{i} + \frac{\sqrt{2}}{4} \sin(\theta) \vec{j} + \frac{\sqrt{2}}{2} \vec{k}, \quad \theta \in [0, 2\pi]$$

Dado que o fluxo é no sentido *de fora para dentro* da superfície S , o versor normal, \vec{n} , está orientado no *sentido do semieixo negativo dos zz* e, portanto, a linha C deverá ser percorrida no *sentido directo*, quando vista da origem do referencial.

Sabendo que

$$\vec{r}'(\theta) = -\frac{\sqrt{2}}{4} \sin(\theta) \vec{i} + \frac{\sqrt{2}}{4} \cos(\theta) \vec{j} + 0\vec{k}$$

$$\vec{v}(\vec{r}(\theta)) = -\frac{3\sqrt{2}}{4}\sin(\theta)\vec{i} + \frac{3\sqrt{2}}{4}\cos(\theta)\vec{j} + \frac{1}{4}\vec{k}$$

$$\vec{v}(\vec{r}(\theta)) \cdot \vec{r}'(\theta) = \frac{3}{8}$$

da aplicação do teorema de Stokes resulta:

$$\iint_S [(\nabla \times \vec{v}(x, y, z)) \cdot \vec{n}] dS = \oint_C \vec{v}(\vec{r}) \cdot d\vec{r} = \frac{3}{8} \int_{2\pi}^0 d\theta = -\frac{3\pi}{4}$$

Exemplo 30: Calcule o fluxo do rotacional do campo vectorial

$$\vec{v}(x, y, z) = z^2\vec{i} - 2x\vec{j} + y^3\vec{k}$$

através da superfície esférica

$$S : x^2 + y^2 + z^2 = 4, z \geq 0$$

no sentido *de fora para dentro* da superfície:

- Considerando a definição de integral de fluxo.
- Recorrendo ao teorema de Stokes.

Solução:

- O rotacional de $\vec{v}(x, y, z)$ é o campo vectorial:

$$\nabla \times \vec{v} = \begin{vmatrix} \vec{i} & \vec{j} & \vec{k} \\ \frac{\partial}{\partial x} & \frac{\partial}{\partial y} & \frac{\partial}{\partial z} \\ z^2 & -2x & y^3 \end{vmatrix} = 3y^2\vec{i} + 2z\vec{j} - 2\vec{k}$$

A superfície esférica orientada, S , pode ser parametrizada através da função vectorial

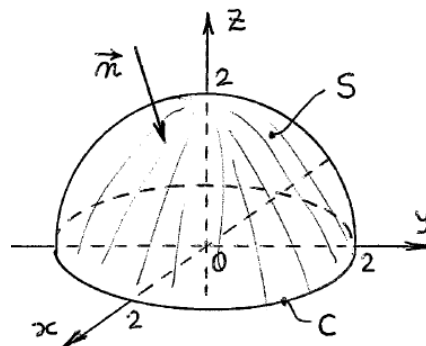
$$\vec{r}(x, y) = x\vec{i} + y\vec{j} + \sqrt{4 - (x^2 + y^2)}\vec{k}, (x, y) \in \Omega$$

em que

$$\Omega = \{(x, y) : 0 \leq x^2 + y^2 \leq 4\}$$

e o seu produto vectorial fundamental é dado por:

$$\begin{aligned} \vec{N}(x, y) = \frac{\partial \vec{r}}{\partial x} \times \frac{\partial \vec{r}}{\partial y} &= \begin{vmatrix} \vec{i} & \vec{j} & \vec{k} \\ 1 & 0 & -x(4 - (x^2 + y^2))^{-1/2} \\ 0 & 1 & -y(4 - (x^2 + y^2))^{-1/2} \end{vmatrix} = \\ &= \frac{x}{\sqrt{4 - (x^2 + y^2)}} \vec{i} + \frac{y}{\sqrt{4 - (x^2 + y^2)}} \vec{j} + \vec{k} \end{aligned}$$



Neste caso, o produto vectorial fundamental, $\vec{N}(x, y)$, e o versor normal à superfície, $\vec{n}(x, y)$, estão orientados em sentidos opostos ($\vec{N}(x, y)$ tem coordenada positiva na direcção do eixo dos zz).

Assim, atendendo a (8) e sabendo que

$$(\nabla \times \vec{v})[\vec{r}(x, y)] = 3y^2\vec{i} + 2\sqrt{4 - (x^2 + y^2)}\vec{j} - 2\vec{k}$$

$$(\nabla \times \vec{v})[\vec{r}(x, y)] \cdot \vec{N}(x, y) = \frac{3xy^2}{\sqrt{4 - (x^2 + y^2)}} + 2y - 2$$

obtem-se para o fluxo do campo vectorial $\nabla \times \vec{v}$ através de S :

$$\iint_S [(\nabla \times \vec{v}(x, y, z)) \cdot \vec{n}] dS = - \iint_{\Omega} \left[\frac{3xy^2}{\sqrt{4 - (x^2 + y^2)}} + 2y - 2 \right] dx dy$$

Uma vez que a função

$$h(x, y) = \frac{3xy^2}{\sqrt{4 - (x^2 + y^2)}}$$

é ímpar na variável x e a região de integração Ω é simétrica em relação ao eixo dos yy , resulta:

$$\iint_{\Omega} \frac{3xy^2}{\sqrt{4 - (x^2 + y^2)}} dx dy = 0$$

Então, o fluxo do campo vectorial $\nabla \times \vec{v}$ através de S reduz-se à expressão

$$\begin{aligned} \iint_S [(\nabla \times \vec{v}(x, y, z)) \cdot \vec{n}] dS &= -2 \iint_{\Omega} (y) dx dy + 2 \iint_{\Omega} dx dy = \\ &= -2\bar{y}A(\Omega) + 2A(\Omega) = 8\pi \end{aligned}$$

em que $A(\Omega) = 4\pi$ é a área da região circular Ω e $\bar{y} = 0$ é a ordenada do seu centroide.

b) A superfície esférica

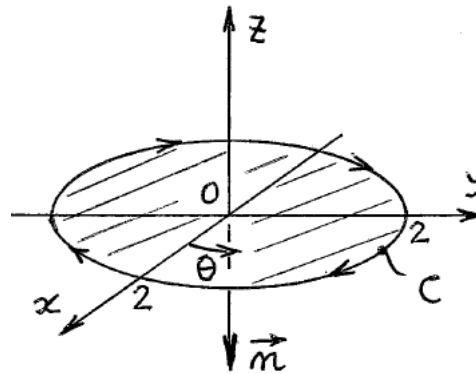
$$S : x^2 + y^2 + z^2 = 4, z \geq 0$$

é limitada, no seu bordo, pela linha

$$C : x^2 + y^2 = 4, z = 0$$

isto é, pela circunferência de raio dois e centrada na origem, que pode ser parametrizada através da função vectorial:

$$C : \vec{r}(\theta) = 2\cos(\theta)\vec{i} + 2\sin(\theta)\vec{j} + 0\vec{k}, \theta \in [0, 2\pi]$$



Dado que o fluxo é no sentido *de fora para dentro* da superfície S , o versor normal, \vec{n} , está orientado no *sentido do semieixo negativo dos z* e, portanto, a linha C deverá ser percorrida no *sentido retrógrado*, quando vista de um ponto com cota positiva.

Sabendo que

$$\vec{r}'(\theta) = -2\sin(\theta)\vec{i} + 2\cos(\theta)\vec{j} + 0\vec{k}$$

$$\vec{v}(\vec{r}(\theta)) = 0\vec{i} - 4\cos(\theta)\vec{j} + 8\sin^3(\theta)\vec{k}$$

$$\vec{v}(\vec{r}(\theta)) \cdot \vec{r}'(\theta) = -8\cos^2(\theta)$$

da aplicação do teorema de Stokes resulta:

$$\iint_S [(\nabla \times \vec{v}(x, y, z)) \cdot \vec{n}] dS = \oint_C \vec{v}(\vec{r}) \cdot d\vec{r} = -8 \int_{2\pi}^0 \cos^2(\theta) d\theta =$$

$$= -4 \int_{2\pi}^0 (1 + \cos(2\theta)) d\theta = -2[2 + \sin(2\theta)]_{2\pi}^0 = 8\pi$$